

**PENGEMBANGAN DAN VALIDASI METODE ANALISIS ZERUMBONE
MENGUNAKAN SPEKTROFOTOMETRI UV-VIS**



UNIVERSITAS ISLAM NEGERI
ALAUDDIN
M A K A S S A R

Skripsi

Diajukan untuk Memenuhi Salah Satu Syarat Meraih
Gelar Sarjana Farmasi Jurusan Farmasi Pada
Fakultas Kedokteran dan Ilmu Kesehatan
UIN Alauddin Makassar

Oleh:

MUHLISUDDIN

70100120047

UNIVERSITAS ISLAM NEGERI
ALAUDDIN
M A K A S S A R

**FAKULTAS KEDOKTERAN DAN ILMU KESEHATAN
UIN ALAUDDIN MAKASSAR
2024**

PERNYATAAN KEASLIAN SKRIPSI

Mahasiswa yang bertanda tangan dibawah ini:

Nama : Muhlisuddin
NIM : 70100120047
Tempat/Tanggal Lahir : Ganra/29 Desember 2002
Jurusan : Farmasi
Fakultas : Kedokteran dan Ilmu Kesehatan
Alamat : Pesona Pelangi Regency
Judul : Pengembangan dan Validasi Metode Analisis Zerumbone Menggunakan Spektrofotometri UV-Vis

menyatakan dengan sesungguhnya dan penuh kesadaran bahwa skripsi ini benar adalah hasil karya sendiri. Jika dikemudian hari terbukti bahwa ia merupakan duplikat, tiruan, plagiat, atau dibuat oleh orang lain, sebagian atau seluruhnya, maka skripsi dan gelar yang diperoleh karenanya batal demi hukum.

UNIVERSITAS ISLAM NEGERI
ALAUDDIN
MAKASSAR

Gowa, 19 Juli 2024
Penyusun,



Muhlisuddin
70100120047

PENGESAHAN SKRIPSI

Skripsi berjudul "**Pengembangan dan Validasi Metode Analisis Senyawa Zerumbone Menggunakan Spektrofotometri UV-Vis**", yang disusun oleh Saudara Muhlisuddin, NIM: 70100120047, mahasiswa Program Studi Farmasi Fakultas Kedokteran dan Ilmu Kesehatan UIN Alauddin Makassar, telah diuji dan dipertahankan dalam sidang Ujian Skripsi (Munaqasyah) yang diselenggarakan pada hari Jumat, tanggal 19 Juli 2024 M. bertepatan dengan tanggal 13 Muharram 1446 H, dinyatakan telah dapat diterima sebagai salah satu syarat untuk memperoleh gelar Sarjana Farmasi pada Jurusan Farmasi dengan beberapa perbaikan.

Gowa, 19 Juli 2024

DEWAN PENGUJI Nomor SK 2632 Tahun 2024

Ketua Sidang	: Dr. dr. Dewi Setiawati, Sp.OG., M.Kes.	(.....)
Sekretaris Sidang	: apt. Muh. Rusdi, S.Si., M.Si.	(.....)
Penguji I	: Nur Syamsi Dhuha, S.Farm., M.Si.	(.....)
Penguji II	: Prof. Dr. Muhammad Shuhufi, S.Ag., M.Ag.	(.....)
Pembimbing I	: Dr. Haeria, S.Si., M.Si.	(.....)
Pembimbing II	: apt. Nurul Muhlisah Maddeppungeng, S.Si., M.Si.	(.....)

Disahkan Oleh:

Dekan FKIK UIN Alauddin Makassar,



Dr. dr. Dewi Setiawati, Sp.OG., M.Kes.
NIP. 19810621 200604 2 002

KATA PENGANTAR

Puji dan syukur penulis panjatkan kehadirat Allah swt. yang senantiasa melimpahkan rahmat dan hidayah sehingga penulis dapat menyelesaikan skripsi yang berjudul **“Pengembangan dan Validasi Metode Analisis Zerumbone Menggunakan Spektrofotometri UV-Vis”**, sebagai salah satu syarat untuk menyelesaikan pendidikan S1 Jurusan Farmasi Fakultas Kedokteran dan Ilmu Kesehatan Universitas Islam Negeri Alauddin Makassar.

Selesainya penyusunan skripsi ini juga tidak terlepas dari adanya bantuan dan dukungan dari berbagai pihak, untuk itu pada kesempatan ini penulis ingin menyampaikan ucapan terima kasih sedalam-dalamnya kepada orang tua dan keluarga penulis serta Bapak/Ibu:

1. Prof. Drs. Hamdan Juhanis M.A., Ph.D. selaku Rektor Universitas Islam Negeri Alauddin Makassar yang telah memberikan kesempatan menyelesaikan studi di UIN Alauddin Makassar.
2. Dr. dr. Dewi Setiawati, Sp.OG., M.Kes. selaku Dekan Fakultas Kedokteran dan Ilmu Kesehatan UIN Alauddin Makassar.
3. apt. Muh. Rusdi, S.Si., M.Si. selaku ketua jurusan Farmasi Fakultas Kedokteran dan Ilmu Kesehatan UIN Alauddin Makassar.
4. apt. Khaerani, S.Farm., M.Farm.Klin. selaku sekertaris jurusan Farmasi Fakultas Kedokteran dan Ilmu Kesehatan UIN Alauddin Makassar.
5. Dr. Haeria, S.Si., M.Si. selaku pembimbing pertama yang telah meluangkan waktu dan pikirannya dalam membimbing penulis untuk menyelesaikan skripsi ini.
6. apt. Nurul Muhlisah Maddeppungeng, S.Si., M.Si. selaku pembimbing kedua telah meluangkan waktu dan pikirannya meskipun secara daring dalam membimbing penulis untuk menyelesaikan skripsi ini.

7. Nur Syamsi Dhuha, S.Farm., M.Si. selaku penguji kompetensi dan telah membimbing penulis dalam menyelesaikan skripsi ini.
8. Prof. Dr. Muhammad Shuhufi, S.Ag., M.Ag. Selaku penguji integrasi keislaman yang telah membantu menyelesaikan skripsi ini.
9. Dwi Wahyuni Leboe, S.Si., M.Si. selaku pembimbing akademik (PA) yang telah memberikan motivasi dan arahan untuk menyelesaikan tugas akhir ini.
10. Seluruh laboran jurusan farmasi yang telah membantu dalam menyelesaikan penelitian ini.
11. Angkatan 2020 Farmasi (XENON) yang telah membantu dan mendukung penyelesaian skripsi ini.

Semoga Allah swt membalas semua kebaikan dan melimpahkan rahmat dan hidayahnya kepada semua pihak yang membantu hingga terselesaikannya skripsi ini. Penulis menyadari bahwa dalam menyusun skripsi ini, sepenuhnya masih jauh dari kata sempurna, maka dari itu pada kesempatan ini penulis mohon kritik dan saran yang bersifat membangun untuk perbaikan di masa yang akan datang.

Gowa, 19 Juli 2024

Penulis,

UNIVERSITAS ISLAM NEGERI
ALAUDDIN
MAKASSAR

Muhlisuddin

70100120047

DAFTAR ISI

PERNYATAAN KEASLIAN SKRIPSI.....	ii
PENGESAHAN SKRIPSI	iii
KATA PENGANTAR.....	iv
DAFTAR ISI	vi
DAFTAR TABEL.....	viii
DAFTAR GAMBAR.....	ix
DAFTAR LAMPIRAN.....	x
ABSTRAK.....	xi
BAB I PENDAHULUAN.....	1
A. Latar Belakang	1
B. Rumusan Masalah.....	3
C. Definisi Operasional.....	3
D. Ruang Lingkup Penelitian	4
E. Kajian Pustaka.....	4
F. Tujuan Penelitian.....	7
G. Manfaat Penelitian.....	7
BAB II TINJAUAN PUSTAKA.....	8
A. Uraian Zerumbone.....	8
B. Spektrofotometri UV-Vis.....	13
C. Validasi Metode Analisis.....	23
D. Tinjauan Islami	36
BAB III METODOLOGI PENELITIAN	42
A. Jenis Penelitian dan Lokasi Penelitian.....	42
B. Pendekatan Eksperimental.....	42
C. Sampel.....	42
D. Alat dan Bahan	42
E. Cara Kerja.....	43
BAB IV HASIL DAN PEMBAHASAN	48
A. Hasil Penelitian.....	48
B. Pembahasan	52

BAB V PENUTUP	59
A. Kesimpulan.....	59
B. Saran	59
DAFTAR PUSTAKA.....	60
LAMPIRAN	65
RIWAYAT HIDUP.....	89



UNIVERSITAS ISLAM NEGERI
ALAUDDIN
M A K A S S A R

DAFTAR TABEL

Tabel 1. Sifat Fisika kimia zerumbone	8
Tabel 2. Distribusi zerumbone pada family Zingiberaceae (Kshirsagar et al., 2018).....	10
Tabel 3. Panjang gelombang maksimum terpanjang dan intensitas penyerapan beberapa poliena (Watson et al., 2017).	17
Tabel 4. Karakteristik serapan UV beberapa kromofor berdasarkan cincin benzene (Watson et al., 2017).	17
Tabel 5. Pelarut-pelarut dengan yang mengabsorpsi (Suhartati, 2017).....	21
Tabel 6. Rentang maksimum akurasi yang diizinkan (Wahyuni et al., 2022).	33
Tabel 7. Rentang Maksimum Presisi yang Diperbolehkan (Wahyuni et al., 2022).....	34
Tabel 8. Panjang Gelombang Maksimun.	48
Tabel 9. Penentuan Operating Time.	48
Tabel 10. Uji Spesifitas.	48
Tabel 11. Uji Linearitas.	49
Tabel 12. Uji LOD & LOQ.....	49
Tabel 13. Uji Akurasi.....	50
Tabel 14. Uji Presisi.....	51
Tabel 15. Uji kadar zerumbone pada ekstrak lempuyang gajah (Zingiber zerumbet).....	52
Tabel 16. Hasil Uji parameter validasi.....	58
Tabel 17. Hasil Absorbansi Penentuan Panjang Gelombang maksimum zerumbone.....	76



DAFTAR GAMBAR

Gambar 1 Struktur kimia zerumbone	2
Gambar 2 Struktur Kimia Zerumbone (Kesharwani & Bhat, 2020).	8
Gambar 3 Ringkasan efek farmakologis zerumbone (Kesharwani & Bhat, 2020).....	12
Gambar 4 Target molekuler zerumbone untuk berbagai penyakit (Kesharwani & Bhat, 2020).	13
Gambar 5 Beberapa istilah perubahan spektrum UV-Vis yang berkaitan dengan panjang gelombang dan intensitas absorbs (Suhartati, 2017).....	14
Gambar 6 Eksitasi ikatan karbon-karbon dalam etilen oleh radiasi pada daerah UV dengan panjang gelombang pendek (Watson et al., 2017).....	15
Gambar 7 Diagram alat spektrometer UV-Vis (single beam) (Suhartati, 2017).....	19
Gambar 8 Skema spektrofotometer UV-Vis (Double-beam) (Suhartati, 2017).	20
Gambar 9 Absorpsi sinar UV-Vis oleh larutan sampel dalam kuvet (Suhartati, 2017).....	22
Gambar 10 Manajemen siklus prosedur analitis (ICH, 2023a).....	24
Gambar 11 Desain dan evaluasi studi validasi (ICH, 2022).	27
Gambar 12 Contoh Rangkaian Destilasi Uap.....	47
Gambar 13 Grafik Penentuan Panjang Gelombang Zerumbone Menggunakan Spektrofotometri UV-Vis.....	54
Gambar 14 Operating time zerumbone.....	55

DAFTAR LAMPIRAN

Lampiran 1. Skema Kerja.....	65
Lampiran 2. Dokumentasi	71
Lampiran 3. Panjang Gelombang Zerumbone	76
Lampiran 4. Perhitungan	77



UNIVERSITAS ISLAM NEGERI
ALAUDDIN
M A K A S S A R

ABSTRAK

Nama : Muhlisuddin
NIM : 70100120047
Jurusan : Farmasi
Judul Skripsi : Pengembangan dan Validasi Metode Analisis
Zerumbone Menggunakan Spektrofotometri UV-Vis

Pengembangan metode analisis merupakan suatu proses yang tujuan utamanya untuk membuktikan suatu metode analitik cocok untuk digunakan dalam pengukuran bahan obat atau sampel. Tujuan dari penelitian ini untuk pengembangan dan validasi metode Spektrofotometri UV-Vis sederhana untuk deteksi *zerumbone* sesuai standar *International Conference on Harmonization* (ICH). Dari penelitian yang telah dilakukan, panjang gelombang *zerumbone* yang didapatkan menggunakan dimetilsulfoksida (DMSO) sebesar 212 nm. Linearitas menghasilkan nilai koefisien determinasi sebesar 0,9991. Akurasi diperiksa dengan metode Perbandingan Bahan Referensi pada lima konsentrasi 10, 20, 30, 40, dan 50 µg/mL dilakukan secara triplo, diperoleh hasil pada kisaran 91,00 - 110,45%. Presisi diuji dalam variasi 3 hari dan RSD(%) sebesar ≤ 2% yaitu sebesar 0,54%. Nilai batas deteksi (LOD) dan batas kuantisasi (LOQ) masing-masing 1,55 µg/mL dan 4,70 µg/mL. Dari beberapa uji validasi yang telah dilakukan, dapat disimpulkan bahwa metode ini valid, sederhana, dan ekonomis.

Kata kunci : Validasi; Spektrofotometri UV-Vis; Zerumbone

UNIVERSITAS ISLAM NEGERI
ALAUDDIN
MAKASSAR

ABSTRACT

Name : Muhlisuddin
Registration Number : 70100120047
Departement : Pharmacy
Thesis Title : Development and Validation of
Zerumbone Analysis Method using UV-Vis
Spectrophotometry

Analytical method development is a process whose main objective is to prove that an analytical method is suitable for use in measuring medicinal substances or samples. The aim of this research is to develop and validate a simple UV-Vis Spectrophotometry method for zerumbone detection according to International Conference on Harmonization (ICH) standards. From the research that has been carried out, the zerumbone wavelength obtained using dimethylsulfoxide (DMSO) is 212 nm. Linearity produces a coefficient of determination value of 0.9991. Accuracy was checked using the Comparison of Reference Materials method at five concentrations of 30, 40, and 50 µg/mL carried out in triplicate, resulting in results in the range of 91,00 - 110,45%. Precision was tested in a 3 day variation and RSD(%) was ≤ 2% is 0.54%. The limit of detection (LOD) and limit of quantitation (LOQ) values were 1.55 µg/mL and 4.70 µg/mL, respectively. From several validation tests that have been carried out, it can be concluded that this method is valid, simple and economical.

Keywords : Validation; UV-Vis Spectrophotometry; Zerumbone

UNIVERSITAS ISLAM NEGERI
ALAUDDIN
MAKASSAR

BAB I

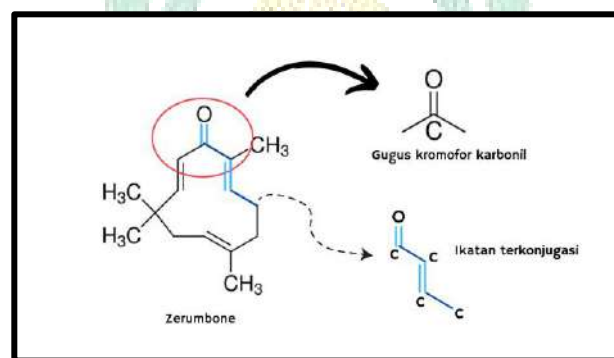
PENDAHULUAN

A. Latar Belakang

Metode analisis memiliki peranan yang sangat penting dalam industri farmasi karena hampir semua bahan diperiksa dengan metode analisis terutama senyawa obat. Metode analisis mensyaratkan bagaimana senyawa dalam bahan obat sintetis atau alami dapat diidentifikasi, dipisahkan maupun dikuantifikasi. Pengembangan metode analisis merupakan suatu proses yang tujuan utamanya untuk membuktikan apakah suatu metode analitik cocok untuk digunakan dalam pengukuran bahan aktif obat. Studi validasi dirancang untuk memberikan bukti yang cukup bahwa prosedur analitis memenuhi tujuannya, ini dijelaskan dengan serangkaian karakteristik kinerja yang sesuai dan kriteria kinerja terkait, yang dapat bervariasi tergantung pada tujuan penggunaan prosedur analitis dan teknologi spesifik yang dipilih (ICH, 2022).

Zerumbone (2,6,9,9-tetramethyl-[2E,6E,10E]-cycloundeca-2,6,10-trien-1-one) merupakan seskuiterpen yang banyak terkandung dalam minyak esensial rimpang jahe-jahean yang liar (Hwang et al., 2020). Penelitian sebelumnya telah melaporkan adanya kandungan *zerumbone* yang tinggi sekitar 35,5-84,8% yang ditemukan dalam ekstrak *Zingiber zerumbet* (L.). Senyawa ini diketahui memiliki berbagai potensi efek biologis, seperti aktivitas antikanker, antioksidan, antibakteri, antiproliferatif, hepatoprotektif, imunoregulasi, dan anti-inflamasi (Wahab et al., 2022). Ditinjau dari struktur kimia *zerumbone*, senyawa ini memiliki ikatan terkonjugasi (Ikatan rangkap yang berselang-seling dengan ikatan tunggal) serta memiliki gugus kromofor karbonil ($>C=O$).

kromofor memiliki kemampuan untuk menyerap sinar ultraviolet dan *visible* (Gandjar & Rohman, 2018). Kongkiatpaiboon dkk. (2023) dan Kshirsagar dkk. (2018) melaporkan berbagai teknik yang telah dikembangkan dan digunakan untuk kuantifikasi komponen fitokimia terutama *zerumbone* dalam *Zingiber zerumbet* (L.), *Zingiber aromaticum*, *Curcuma longa*, serta *Curcuma amada* antara lain *Gas Chromatography-Mass Spectrometry* (GC-MS), *High-Performance Liquid Chromatography* (HPLC), *Ultra-High Performance Liquid Chromatography* (UHPLC), dan *Headspace-Solid Phase Microextraction-Gas Chromatography* (HS-



Gambar 1 Struktur kimia *zerumbone*

SPMEGC), *High-Performance Thin-Layer Chromatography* (HPTLC), *Spektroskopi Fourier-Transform Infrared* (FTIR) dan kromatografi cair kapiler. Namun, belum ada penelitian sebelumnya yang melaporkan teknik analisis *zerumbone* menggunakan metode spektrofotometri UV-Vis. Spektrofotometri UV-Vis ini memiliki kelebihan diantaranya analisis dapat dilakukan dengan tepat dan cepat, dapat menganalisis banyak zat organik maupun anorganik, selektif, dan memiliki ketelitian yang tinggi dengan kesalahan relatif berskisar 1-3% (Rohmah et al., 2021). Oleh karena itu peneliti tertarik untuk mengembangkan metode analisis *zerumbone* menggunakan spektrofotometri UV-Vis.

B. Rumusan Masalah

1. Bagaimana mengembangkan metode analisis *zerumbone* menggunakan metode spektrofotometri UV-Vis?
2. Bagaimana hasil validasi sesuai dengan standar *International Conference on Harmonization* (ICH)?

C. Definisi Operasional

Pada penelitian ini digunakan beberapa istilah, agar tidak terjadi kekeliruan penafsiran terhadap istilah-istilah dalam judul, maka dijelaskan sebagai berikut.

1. *Zerumbone* adalah senyawa seskuiterpen monosiklik yang sangat mudah menguap yang ditemukan dalam jumlah besar di minyak atsiri rimpang jahe liar yang dapat dimakan, misalnya *Zingiber zerumbet* (L.) Roscoe ex Sm. (Ibáñez et al., 2022).
2. Spektrofotometri UV-Vis adalah teknik analisis yang melibatkan interaksi antara radiasi elektromagnetik dengan analit (senyawa) di daerah ultraviolet-tampak (*visible*). Radiasi ultraviolet (UV) dan *visible* (Vis) yang lazim digunakan untuk analisis kimia di 200-780 nm (Rohman et al., 2023).
3. Validasi Metode Analisis adalah prosedur penting melalui kajian laboratorium dalam membuktikan kualitas suatu Analisa kuantitatif. Validasi metode dimaksudkan untuk memastikan bahwa metode analisis tersebut telah memenuhi spesifikasi yang diterima dan tujuan yang diharapkan (Wahyuni et al., 2022).

D. Ruang Lingkup Penelitian

Ruang lingkup penelitian ini merupakan laboratorium murni yang bertujuan untuk mengembangkan dan memvalidasi metode analisis *zerumbone* menggunakan spektrofotometri UV-Vis.

E. Kajian Pustaka

Dalam kajian pustaka dibahas beberapa penelitian sebelumnya untuk melihat kejelasan arah, originalitas, kemanfaatan, dan posisi dari penelitian ini, lalu dibandingkan dengan beberapa temuan penelitian yang dilakukan sebelumnya

1. Penelitian yang dilakukan Hayder Naser Hussein dkk. (2022) dengan judul "*A Rapid Sensitive And an Efficient Method Development and Validation of Carfilzomib by UV-Vis Spectrophotometric Analysis*". Penelitian bertujuan untuk pengembangan dan memvalidasi metode Spektrofotometri UV untuk carfilzomib. Metode ini menggunakan metanol sebagai pengencer untuk estimasi carfilzomib dalam *vial formulation*. λ_{\max} carfilzomib 203 nm. Linearitas pada rentang konsentrasi 4-16 $\mu\text{g/ml}$ ditemukan memiliki koefisien korelasi yang baik ($R^2 = 0,9952$). Akurasinya berkisar antara (99,4-101,2%), LOD dan LOQ berturut-turut adalah 0,00156 $\mu\text{g/ml}$ dan 0,00472 $\mu\text{g/ml}$. Hasil yang diperoleh ternyata sederhana, tepat, dan akurat serta divalidasi sesuai pedoman ICH dan cepat untuk memperkirakan carfilzomib dalam jumlah besar serta dalam bentuk sediaannya (Hussein et al., 2022).
2. Penelitian yang dilakukan Nabilah Mohammad Yaqoob Akhtar dkk. (2019) dengan judul "*Standardized ethanol extract, essential oil and*

zerumbone of Zingiber zerumbet rhizome suppress phagocytic activity of human neutrophils". Penelitian ini menggunakan 3 mg ekstrak etanol *Z. zerumbet* 80% dan 1 mg standar referensi *zerumbone* dilarutkan dalam 1 mL metanol dan disonikasi selama 10 menit. Larutan stok disaring melalui membran filter nilon 0,45 μm . Setelah itu, larutan encer dari standar referensi dan ekstrak dianalisis menggunakan HPLC dan divalidasi melalui penentuan presisi, linearitas, batas deteksi (LOD) dan kuantifikasi (LOQ). Linearitas ditentukan dari koefisien korelasi (r^2) yang diperoleh berdasarkan kurva kalibrasi yang diplot dari kisaran konsentrasi 125 hingga 1000 $\mu\text{g/mL}$ standar. Ketepatan metode HPLC pada kemampuan pengulangan dan presisi menengah dihitung sebagai deviasi standar relatif (RSD) dari injeksi sampel standar mulai dari konsentrasi 125 hingga 1000 $\mu\text{g/mL}$. Setiap konsentrasi disuntikkan tiga kali sehari (presisi intraday) dan pada tiga hari terpisah (presisi antarhari). LOD dan LOQ dihitung dari RSD dan kemiringan (S) kurva kalibrasi dengan menggunakan persamaan berikut: $\text{LOD} = 3,3 \times (\text{RSD}/\text{S})$ dan $\text{LOQ} = 10 \times (\text{RSD}/\text{S})$. Kromatogram yang diperoleh dari kolom HPLC fase terbalik dari ekstrak etanol 80% *Z. zerumbet* menunjukkan beberapa puncak dengan *zerumbone* sebagai puncak utama, pada waktu retensi 9,745 menit. Identifikasi puncak dilakukan dengan perbandingan dengan HPLC dari standar referensi ZER. Kurva kalibrasi yang diplot menunjukkan linearitas yang sesuai dengan koefisien korelasi (r^2) sebesar 0,999 pada rentang konsentrasi dari 125 hingga 1000 $\mu\text{g/mL}$. Reprodusibilitas hasil HPLC ditunjukkan oleh

presisi yang baik dari metode yang digunakan sesuai dengan nilai %RSD yang diperoleh seperti yang diilustrasikan oleh kecilnya nilai deviasi standar untuk waktu retensi dan respons senyawa penanda untuk presisi pengujian intraday dan interday. %RSD untuk presisi pengujian antarhari dan intrahari dianalisis secara berbeda sebesar 0,93 dan 1,53% sehubungan dengan waktu retensi, sedangkan 0,57 dan 5,92% secara bersamaan dalam kasus area puncak. Batas deteksi (LOD) dan batas kuantifikasi (LOQ) untuk ZER masing-masing adalah 0,117 dan 0,355 $\mu\text{g}/\text{mL}$. Nilai LOD dan LOQ yang kecil menunjukkan bahwa metode yang digunakan menunjukkan sensitivitas yang baik. Penentuan senyawa utama secara kuantitatif menunjukkan ZER sebagai unsur utama yang terdapat pada ekstrak *Z. zerumbet* yang dihitung sebesar 242,73 mg/g (Akhtar et al., 2019).

3. Penelitian yang dilakukan Priya Shetti dan Sunil S. Jalalpure (2022) dengan judul "*Optimization of a Validated UV-Spectrophotometric Methodology for Assessment of Apigenin in Bulk Powder*". Larutan stok apigenin dibuat dalam konsentrasi 1000 $\mu\text{g}/\text{mL}$. Dari stok, larutan standar kerja yang mengandung 10 $\mu\text{g}/\text{mL}$ apigenin dipindai antara daerah panjang gelombang 200 - 400 nm terhadap metanol sebagai blanko. Spektrum UV ditunjukkan pada dan kurva serapan menunjukkan karakteristik serapan maksimum pada 267 nm dan dipilih untuk analisis apigenin. Selanjutnya dilakukan validasi linearitas dengan membuat seri konsentrasi 2, 4, 6, 8 dan 10 $\mu\text{g}/\text{mL}$ masing-masing 10 mL dan diukur pada panjang gelombang 267 nm. Hasil Respon

detektor apigenin linier pada rentang konsentrasi tertentu 2 - 10 $\mu\text{g}/\text{mL}$ dengan koefisien korelasi sebesar 0,9995, LOD dan LOQ masing-masing 0.27 $\mu\text{g}/\text{mL}$ dan 0.83 $\mu\text{g}/\text{ml}$. Metode yang baru dikembangkan ternyata spesifik, Linier selektif, Tepat, Kasar, dapat direproduksi untuk estimasi apigenin dengan nilai %RSD kurang dari 2%. Kesimpulan dalam penelitian ini Pengembangan dan Validasi metode Spektrofotometri UV dapat digunakan untuk penilaian apigenin dalam bubuk curah (Shetti & Jalalpure, 2022).

F. Tujuan Penelitian

1. Untuk mengembangkan metode analisis *zerumbone* menggunakan metode spektrofotometri UV-Vis.
2. Untuk mengetahui hasil validasi metode sesuai dengan standar *International Conference on Harmonization (ICH)*.

G. Manfaat Penelitian

Manfaat penelitian ini sebagai rujukan metode analisis baru yang lebih cepat, efektif, dan ekonomis untuk menganalisis *zerumbone* menggunakan spektrofotometri UV-Vis.

BAB II

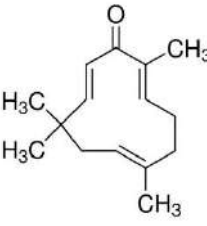
TINJAUAN PUSTAKA

A. Uraian Zerumbone

1. Sifat Fisika Kimia

Zerumbone memiliki ikatan tiga rangkap (dua terkonjugasi dan satu terisolasi), α , gugus karbonil tak jenuh β , dan gugus karbonil terkonjugasi ganda dalam struktur cincin beranggotakan 11 (Kesharwani & Bhat, 2020). Berikut sifat fisika kimia dari *zerumbone* yang tertera pada Tabel 1.

Tabel 1. Sifat Fisika kimia *zerumbone*

Nama IUPAC	: <i>(2E,6E,10E)-2,6,9,9-tetramethylcycloundeca-2,6,10-trien-1-one</i> (NCBI, 2023).
Kelas kimia	: <i>Sesquiterpene</i> (NCBI, 2023).
Sinonim	: <i>Zerumbone; 471-05-6, (2E,6E,10E)-2,6,9,9-tetramethylcycloundeca-2,6,10-trien-1-one; (E,E,E)-2,6,9,9-Tetramethyl-2,6,10-cycloundecatrien-1-one; ChEMBL245412; 2E,6E,9E-humulatrien-8-one</i> (NCBI, 2023)
Struktur kimia	: 
	Gambar 2 Struktur Kimia <i>Zerumbone</i> (Kesharwani & Bhat, 2020).
Rumus molekul	: $C_{15}H_{22}O$ (NCBI, 2023).

Berat molekul	: 218.33 g/mol (NCBI, 2023).
Deskripsi	: <i>Zerumbone</i> merupakan seskuiterpenoid dan keton siklik yaitu (1E,4E,8E)- <i>alpha-humulene</i> yang disubstitusi oleh gugus okso pada atom karbon yang terikat pada dua ikatan rangkap (NCBI, 2023).
Titik Flash	: 272°F (Kesharwani & Bhat, 2020)
Titik didih	: 321-322 °C at 760 mmHg (Kalantari et al., 2017)
Titik leleh	: 65.3 °C (Kesharwani & Bhat, 2020)
pH	: 1.2 – 7.4 (Ibáñez et al., 2022).
Pemerian	: Kristal atau bubuk putih padat (Kesharwani & Bhat, 2020)
Kelarutan	: Mudah larut dalam pelarut organik seperti dimetil sulfoksida (DMSO) dan etanol tetapi memiliki kelarutan yang sangat buruk dalam air (1,296 mg/L atau ~1-1,5 mg/L pada 25 °C) (Kesharwani & Bhat, 2020); (Ibáñez et al., 2022).
Log P	: 3.9 (Kesharwani & Bhat, 2020)
Stabilitas	: Sangat mudah menguap dan stabil selama minimal 2 tahun bila disimpan pada suhu -20 °C (Ibáñez et al., 2022); (Kesharwani & Bhat, 2020).
Penyimpanan	: Stabil pada 4°C, terlindung dari cahaya (Md et al., 2018).

2. Manfaat Zerumbone

Zerumbone terkandung diberbagai spesies *Curcuma*, *Alpinia* dan *Zingiber* dari famili *Zingiberaceae*. Kisaran variasi kandungannya telah dilaporkan dari 0,03 hingga 84,80% dalam *family* tersebut. Ditemukan bahwa perbedaan kandungan *zerumbone* pada tanaman bukan karena variasi geografis atau ekologi tetapi karena kemotipenya (Kshirsagar et al., 2018). *Zerumbone* dapat diekstraksi dengan metode ekstraksi pelarut konvensional seperti maserasi, sokhletasi, refluks, hidrodestilasi, *Microwave-Assisted Extraction* dan *Supercritical Fluid Extraction*. Setiap metode ini memiliki kelebihan dan kekurangannya masing masing. Oleh karena itu, pemilihan metode ekstraksi dapat dilakukan dengan memperhatikan ketersediaan alat dan pelarut ekstraksi yang ada (Haeria, 2023).

Tabel 2. Distribusi *zerumbone* pada family *Zingiberaceae* (Kshirsagar et al., 2018).

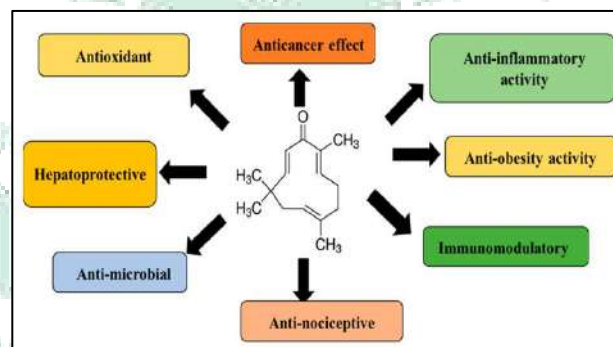
<i>Species</i>	<i>Part</i>	<i>Content (%)</i>	<i>Method</i>	<i>Location</i>
<i>Alpinia galangal</i>	Rh	44.80	GC-MS	Sri Langka
<i>Curcuma amada</i>	Rh	00.20	GC-MS	India
	Rh	NM	GC-MS	Serbia
<i>C. longa</i>	SP	NM	GC-MS	China
	Rh	NM	GC-MS	Pakistan
	Rh	NM	GC-FID	Brazil
<i>C. longa</i> cv ROMA	Rh, L	NM	GC-MS	India
<i>C. longa</i> cv Selam	Rh	0.22/0.57	RP-HPLC	India
<i>C. longa</i> cv Krishna	Rh	0.08/0.45		

<i>C. longa</i> cv Tekur	Rh	0.15/0.32		
<i>C. longa</i> cv Rajapuri	Rh	0.13/0.37		
<i>C. longa</i> cv Phuleshwar	Rh	0.12/0.36		
<i>C. longa</i> cv Prabha	Rh	0.10/0.45		
<i>C. longa</i> cv Bawdhan	Rh	0.04/0.64		
<i>C. longa</i> cv Pachwad	Rh	0.13/0.42		
<i>C. longa</i> cv Alleppey	Rh	0.16/0.83		
<i>C. longa</i> cv Kuchipidi	Rh	0.10/0.35		
<i>C. longa</i> cv Rajampeth	Rh	0.20/0.61		
<i>C. purpurascens</i>	Rh	NM	GC-MS	Indonesia
<i>C. zedoaria</i>	Rh	NM	GC	Vietnam
<i>Xylopia aetiopica</i>	Fr	04.00	GC-MS	Nigeria
<i>Zingiber aromaticum</i>	Rh	17.72	GC-MS	Malaysia
<i>Z. cassumunar</i>	Rh	01.00	GC-MS	India
<i>Z. montanum</i>	Rh	02.00	Spec.	Bangladesh
<i>Z. officinale</i>	Rh	36.98	GC-MS	Bangladesh
<i>Z. ottensii</i>	Rh	25.60	GC-MS	Malaysia
<i>Z. spectabile</i>	Rh	59.10	GC-MS	Malaysia
	Rh	76.30-	GC-MS	India
<i>Z. zerumbet</i>		84.80		
	Rh	01.81	HPTLC	India

R	00.16		
L	00.09		
Fl	00.03		
Rh	68.90	GC-MS	Malaysia
Rh	00.11		Malaysia
Rh	65.30	GC-MS	Tahiti Island
Rh	72.30		Vietnam
Rh	37.00	GC-MS	France
L	00.40	GC-MS	France

Rh: Rhizome; R: root; S: stem; L: leaf; Fr: fruit; SP: sample powder; Spec.: spectroscopy

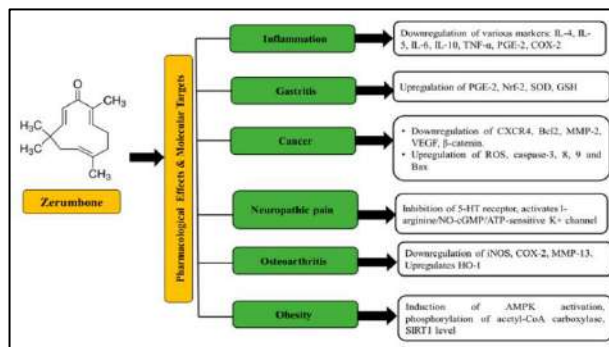
Zerumbone diketahui menunjukkan banyak efek biologis dan farmakologis (**Gambar 3**) seperti antitumor, antioksidan, antimikroba, *antinociceptive*, hepatoprotektif, imunomodulator, antiinflamasi,



Gambar 3 Ringkasan efek farmakologis zerumbone (Kesharwani & Bhat, 2020).

gastroprotektif, dan antiproliferatif melalui modulasi berbagai target molekuler (**Gambar 4**) dan mekanisme sinyal (Kesharwani & Bhat, 2020). Salah satu kegunaan *zerumbone* yaitu telah dilaporkan memiliki beragam sifat antikanker yang dimediasi oleh penekanan proliferasi, induksi penghentian siklus sel, dan apoptosis pada berbagai jenis kanker seperti

otak, payudara, usus besar, hati, dan paru-paru melalui modulasi berbagai protein dan jalur sinyal. Sehubungan dengan hal ini, berbagai penelitian *in vitro* menunjukkan bahwa *zerumbone* dapat menurunkan regulasi ekspresi CXCR4, aktivasi NF- κ B, dan protein onkogenik lainnya. Selain itu, *zerumbone*



Gambar 4 Target molekuler *zerumbone* untuk berbagai penyakit (Kesharwani & Bhat, 2020).

juga dapat menekan jalur IL-6/JAK2/STAT3, PI3K/AKT/mTOR, dan ekspresi gen terkait seperti cyclin D1, IL-6, COX2, dan ETV1, sehingga menghambat proliferasi dan aktivitas angiogenik dengan meningkatkan aktivitas sel, penghentian siklus dan apoptosis (Girisa et al., 2019).

B. Spektrofotometri UV-Vis

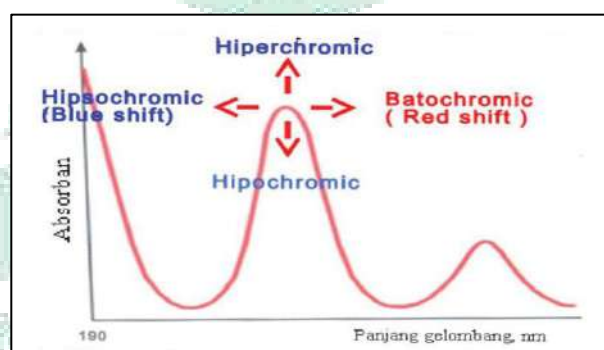
1. Definisi

Spektrofotometri UV-Vis merupakan metode analisis yang menggunakan panjang gelombang UV dan sinar tampak sebagai area serapan untuk mendeteksi senyawa. Pada umumnya senyawa yang dapat diidentifikasi menggunakan spektrofotometri UV-Vis adalah senyawa yang memiliki gugus kromofor dan gugus aoksokrom. Pengujian dengan instrument ini tergolong dan cepat cepat jika dibandingkan dengan metode lain (Sahumena et al., 2020). Gugus penyerap dalam suatu molekul disebut kromofor. Molekul yang mengandung kromofor disebut kromogen. Aoksokrom tidak menyerap radiasi dengan sendirinya, namun jika terdapat

dalam suatu molekul, auksokrom dapat meningkatkan penyerapan oleh kromofor dan/atau menggeser panjang gelombang serapan ketika terikat pada kromofor (Christian et al., 2014).

Pada spektrofotometri UV-Vis ada beberapa istilah yang digunakan terkait dengan molekul, yaitu kromofor, auksokrom, efek batokromik, efek hipokromik, hipsokromik, dan hipokromik. Berikut penjelasannya :

- a. Kromofor adalah molekul atau bagian molekul yang mengabsorpsi/menyerap sinar dengan kuat di daerah UV-Vis, misalnya heksana, benzene, aseton, asetilen, karbonil, karbonmonooksida, karbondioksida, gas nitrogen (Suhartati, 2017).
- b. Auksokrom adalah gugus fungsi yang mengandung pasangan elektron bebas berikatan kovalen tunggal, yang terikat pada kromofor yang mengintensifkan absorpsi sinar UV-Vis pada kromofor tersebut, baik panjang gelombang maupun intensitasnya, misalnya gugus hidroksi, amina, halida, alkoksi (Suhartati, 2017).



Gambar 5 Beberapa istilah perubahan spektrum UV-Vis yang berkaitan dengan panjang gelombang dan intensitas absorbs (Suhartati, 2017).

- c. Hiposkromik (pergeseran biru) adalah pergeseran panjang gelombang maksimal ke arah panjang gelombang yang lebih pendek (Gandjar & Rohman, 2015).

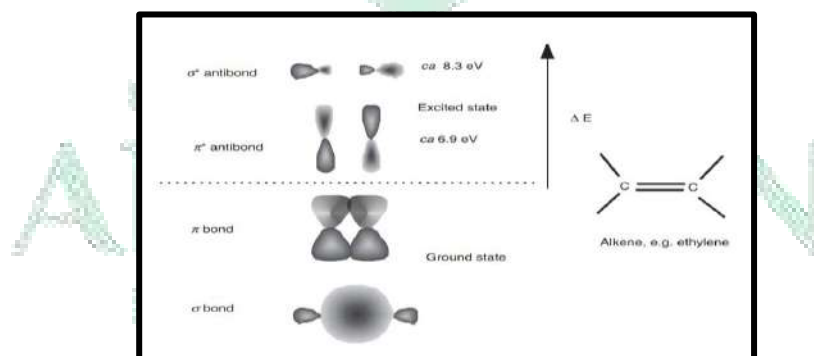
- d. Batokromik (pergeseran merah) adalah pergeseran panjang gelombang maksimal ke arah panjang gelombang yang lebih panjang (Gandjar & Rohman, 2015).
- e. Hiperkromik adalah peningkatan intensitas (absorbansi) sedangkan hipokromik adalah penurunan intensitas (absorbansi) (Gandjar & Rohman, 2015).

2. Prinsip Kerja

Prinsip kerja Spektrofotometer UV-Vis yaitu apabila cahaya monokromatik melalui suatu media (larutan), maka sebagian cahaya tersebut diserap (I), sebagian dipantulkan (I_r), dan sebagian lagi dipancarkan (I_t) (Yanlinastuti & Fatimah, 2016).

3. Faktor-Faktor yang Mengatur Penyerapan Radiasi di Daerah UV/Visibel

Radiasi pada daerah UV/visibel diserap melalui eksitasi elektron yang terlibat dalam ikatan antara atom-atom penyusun molekul sehingga



Gambar 6 Eksitasi ikatan karbon-karbon dalam etilen oleh radiasi pada daerah UV dengan panjang gelombang pendek (Watson et al., 2017).

awan elektron yang menyatukan atom-atom tersebut terdistribusi ulang dan orbital yang ditempati oleh elektron-elektron yang terikat tidak lagi tumpang tindih. Radiasi UV dengan panjang gelombang pendek <150 nm

(>8,3 eV) dapat menyebabkan putusya ikatan terkuat dalam molekul organik sehingga sangat merusak organisme hidup. Ikatan yang lebih lemah dalam molekul yang lebih menarik bagi para analis karena mereka dapat tereksitasi oleh radiasi UV dengan panjang gelombang yang lebih panjang > 200 nm (> 6,2 eV), yang memiliki panjang gelombang lebih panjang dibandingkan daerah yang menyerap udara dan pelarut umum. Dengan mengamati molekul organik yang sangat sederhana seperti etilen (**Gambar 6**), terlihat bahwa molekul tersebut mengandung dua jenis ikatan karbon-karbon, yaitu ikatan σ kuat yang dibentuk oleh tumpang tindih orbital sp^2 dari dua karbon dan ikatan π yang lebih lemah. dibentuk oleh tumpang tindih sebagian orbital p atom karbon. Ikatan σ akan tereksitasi dan putus ketika terkena radiasi pada jarak sekitar 150 nm. Ikatan π yang lebih lemah memerlukan radiasi berenergi lebih sedikit pada 180 nm untuk menghasilkan keadaan tereksitasi π^* yang ditunjukkan pada **Gambar 6**. Eksitasi ini dapat terjadi tanpa molekulnya hancur karena orbital σ tetap tidak tereksitasi oleh radiasi dengan panjang gelombang yang lebih panjang pada 180 nm. Namun ikatan rangkap tunggal masih belum berguna sebagai kromofor untuk menentukan analit dengan spektrofotometri UV karena masih berada pada daerah penyerapan udara dan pelarut (Watson et al., 2017).

Jika terdapat lebih banyak ikatan rangkap dalam suatu struktur yang terkonjugasi (yaitu dua atau lebih ikatan rangkap dalam suatu rangkaian yang dipisahkan oleh satu ikatan tunggal), serapan terjadi pada panjang gelombang yang lebih panjang dan dengan intensitas yang lebih besar, sebagaimana dirinci pada untuk rangkaian poliena. Nilai A (1%, 1 cm), yang dijelaskan kemudian, memberikan ukuran intensitas penyerapan. Jenis


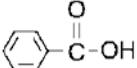
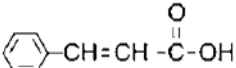
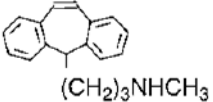
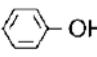
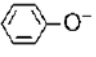
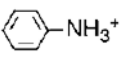
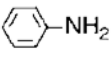
sistem terkonjugasi linier yang terdapat pada poliena tidak terlalu umum pada molekul obat (Watson et al., 2017).

Tabel 3. Panjang gelombang maksimum terpanjang dan intensitas penyerapan beberapa poliena (Watson et al., 2017).

Polyene	λ max	A (1%, 1 cm)
$\text{CH}_3(\text{CH}=\text{CH})_3\text{CH}_3$	275	2800
$\text{CH}_3(\text{CH}=\text{CH})_4\text{CH}_3$	310	6300
$\text{CH}_3(\text{CH}=\text{CH})_5\text{CH}_3$	342	9000
$\text{CH}_3(\text{CH}=\text{CH})_6\text{CH}_3$	380	9800

Sistem ikatan rangkap yang diperluas ini dikenal sebagai kromofor. Kromofor yang paling umum ditemukan dalam molekul obat adalah cincin benzena. Benzena sendiri memiliki λ maks pada panjang gelombang yang

Tabel 4. Karakteristik serapan UV beberapa kromofor berdasarkan cincin benzene (Watson et al., 2017).

Chromophore	Longest wavelength λ max	A (1%, 1 cm)
 Benzene	255 nm	28
 Benzoic acid	273	85
 Cinnamic acid	273	1420
 Protriptyline	292	530
 $\xrightleftharpoons{\text{H}^+}$ 	270 nm \rightarrow 287 nm Bathochromic	72 \rightarrow 271 Hyperchromic
 $\xrightleftharpoons{\text{H}^+}$ 	255 nm \rightarrow 286 nm Bathochromic	16 \rightarrow 179 Hyperchromic

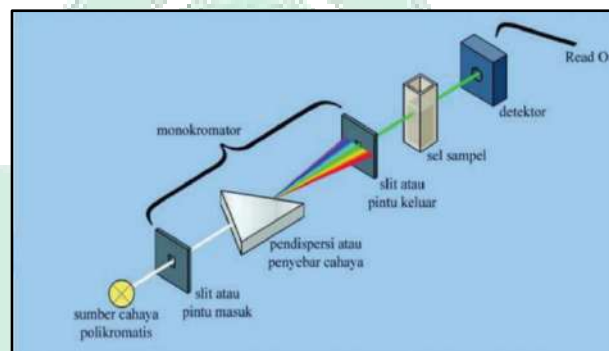
jauh lebih pendek dibandingkan triena linier seperti heksatriena (λ maks 275 nm), dan serapan terkuatnya berada pada panjang gelombang

serapan ikatan rangkap terisolasi pada 180 nm. Ia juga memiliki pita serapan yang kuat pada 204 nm. Hal ini disebabkan oleh simetri benzena; tidak mungkin mempunyai keadaan tereksitasi yang melibatkan ketiga ikatan dalam benzena karena hal ini berarti bahwa dipol (polarisasi kromofor), sebuah konsep dua dimensi yang tercipta dalam keadaan tereksitasi, akan menjadi simetris dan dengan demikian harus ada dalam keadaan tereksitasi. tiga dimensi, bukan dua dimensi. Terdapat lemahnya serapan pada spektrum benzena yang mendekati λ_{\max} untuk heksatriena, dan hal ini dapat terjadi karena getaran cincin benzena pada arah tertentu dapat merusak simetrinya sehingga memungkinkan ketiga ikatan rangkap terlibat dalam keadaan tereksitasi. Jika simetri cincin benzena diturunkan melalui substitusi, pita pada spektrum benzena mengalami pergeseran batokromik – pergeseran ke panjang gelombang yang lebih panjang. Substitusi dapat melibatkan perpanjangan kromofor atau pelekatan aoksokrom (gugus yang mengandung satu atau lebih pasangan elektron bebas) pada cincin atau keduanya. **Tabel 4.** merangkum pita serapan yang ditemukan pada beberapa sistem aromatik sederhana, dan sistem kromofor/auxokrom ini menjadi dasar penyerapan radiasi UV oleh banyak obat. Gugus hidroksil dan gugus amino aoksokrom dipengaruhi oleh pH, mengalami pergeseran batokromik (bergerak ke panjang gelombang yang lebih panjang) dan hiperkromik (menyerap lebih kuat) ketika proton dilepaskan dalam kondisi basa, sehingga melepaskan pasangan elektron bebas tambahan. Efeknya paling nyata pada gugus amina aromatik. Spektrum serapan suatu molekul obat disebabkan oleh kombinasi khusus aoksokrom dan kromofor yang ada dalam strukturnya (Watson et al., 2017).

4. Tipe-tipe Spektrofotometri UV-Vis

Tipe instrument spektrofotometri ada dua yaitu *single-beam* dan *doubele-beam*. Berikut penjelasan mengenai kedua tipe tersebut. untuk kuantitatif dengan mengukur absorbansi pada panjang gelombang tunggal.

- a. *single-beam* dapat digunakan untuk kuantitatif dengan mengukur absorbansi pada panjang gelombang tunggal. Single-beam instrument mempunyai beberapa kelebihan yaitu sederhana, harganya murah, dan

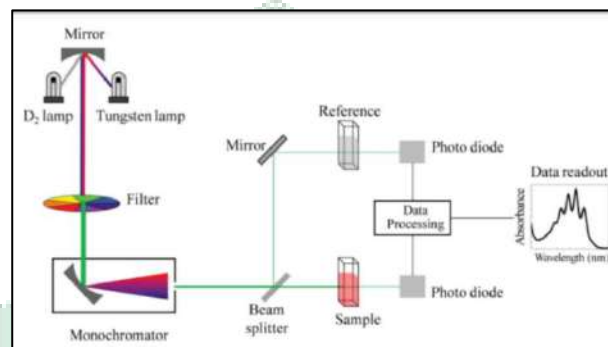


Gambar 7 Diagram alat spektrometer UV-Vis (*single beam*) (Suhartati, 2017).

mengurangi biaya yang ada merupakan keuntungan yang nyata. Beberapa instrumen menghasilkan *single-beam* instrumen untuk pengukuran sinar ultra violet dan sinar tampak. Panjang gelombang paling rendah adalah 190 sampai 210 nm dan paling tinggi adalah 800 sampai 1000 nm (Suhartati, 2017).

- b. *Double-beam* dibuat untuk digunakan pada panjang gelombang 190 sampai 750 nm. *Double-beam* instrument (**Gambar 8**) mempunyai dua sinar yang dibentuk oleh potongan cermin yang berbentuk V yang disebut pemecah sinar. Sinar pertama melewati larutan blanko dan sinar kedua secara serentak melewati sampel. Sumber sinar polikromatis, untuk sinar UV adalah lampu deuterium, sedangkan sinar Visibel atau sinar tampak adalah lampu wolfram. Monokromator pada

spektrometer UV-Vis digunakan lensa prisma dan filter optik. Sel sampel berupa kuvet yang terbuat dari kuarsa atau gelas dengan lebar yang bervariasi. Detektor berupa detektor foto atau detektor panas atau detektor dioda foto, berfungsi menangkap cahaya yang diteruskan dari sampel dan mengubahnya menjadi arus listrik (Suhartati, 2017).



Gambar 8 Skema spektrofotometer UV-Vis (Double-beam) (Suhartati, 2017).

5. Syarat Pengukuran

Spektrofotometri UV-Visible dapat digunakan untuk penentuan terhadap sampel yang berupa larutan, gas, ataupun uap. Pada umumnya sampel harus diubah menjadi suatu larutan yang jernih. Untuk sampel yang berupa larutan perlu diperhatikan beberapa persyaratan pelarut yang dipakai antara lain:

- Harus melarutkan sampel dengan sempurna;
- Pelarut yang dipakai tidak mengandung ikatan rangkap terkonjugasi pada struktur molekulnya dan tidak berwarna (tidak boleh mengabsorpsi sinar yang dipakai oleh sampel);
- Tidak terjadi interaksi dengan molekul senyawa yang dianalisis;
- Kemurniannya harus tinggi (Suhartati, 2017).

Pelarut yang sering digunakan adalah air, etanol, metanol dan n-heksana karena pelarut ini transparan pada daerah UV.

Tabel 5. Pelarut-pelarut dengan yang mengabsorpsi (Suhartati, 2017).

Pelarut	λ_{maks} , (nm)	Pelarut	λ_{maks} , (nm)
Asetronitril	190	n- heksana	201
Kloroform	240	Metanol	205
Sikloheksana	195	Isooktana	195
1-4 dioksan	215	Air	190
Etanol 95 %	205	Aseton	330
Benzena	285	Piridina	305

Untuk mendapatkan spektrum UV-Vis yang baik perlu diperhatikan pula konsentrasi sampel. Hubungan antara absorbansi terhadap konsentrasi akan linier ($A \approx C$) apabila nilai absorbansi larutan antara 0,2-0,8 ($0,2 \leq A < 0,8$) atau sering disebut sebagai daerah berlakunya hukum Lambert-Beer dengan lebar sel 1 cm, dan besarnya absorbansi ini untuk senyawa yang memiliki ikatan rangkap terkonjugasi yang mengalami eksitasi elektron $\pi \rightarrow \pi^*$, dengan ϵ 8.000 - 20.000; konsentrasi larutan sekitar 4×10^{-5} mol/L; sedangkan untuk senyawa yang hanya memiliki eksitasi elektron $n \rightarrow \pi^*$, ϵ 10 - 100, maka konsentrasinya sekitar 10^{-2} mol/L. Bila senyawa yang akan diukur tidak diketahui Mr-nya, konsentrasi larutan dengan absorbansi tersebut biasanya digunakan 10 ppm, bila absorbansi yang diperoleh masih terlalu tinggi, larutan sampel tersebut harus diencerkan; sebaliknya bila terlalu rendah, maka jumlah sampel harus ditambah (Suhartati, 2017).

6. Spektrum UV-Vis

Spektrum UV-Vis digambarkan dalam bentuk dua dimensi, dengan absis merupakan panjang gelombang dan ordinat merupakan absorbansi (serapan) (**Gambar 9**). Umumnya spektrum UV-Vis berbentuk pita lebar,

pita melebar dari spektrum UV-Vis disebabkan karena energi yang diabsorpsi selain menyebabkan transisi elektronik terjadi pula transisi rotasi elektron dan vibrasi elektron ikatan dalam molekul (Suhartati, 2017).

Semakin banyak sinar diabsorpsi oleh sampel organik pada panjang gelombang tertentu, semakin tinggi absorban, yang dinyatakan dalam hukum Lambert-Beer:

$$A = \frac{\log I_0}{I} = a \cdot b \cdot c = \varepsilon \cdot b \cdot c$$

Keterangan :

A = absorban

a = absorptivitas ($\text{g}^{-1}\text{cm}^{-1}$)

b = lebar sel yang dilalui sinar (cm)

c = konsentrasi (mol/L)

ε = ekstinsi (absorptivitas)

I_0 = intensitas sinar sebelum melalui sampel

I = intensitas sinar setelah melalui sampel



Gambar 9 Absorpsi sinar UV-Vis oleh larutan sampel dalam kuvet (Suhartati, 2017).

Perbandingan logaritma I_0 dengan I menyatakan seberapa besar sinar tersebut diabsorpsi oleh sampel (**Gambar 9**). Nilai ekstinsi molar (ε) dapat dihitung berdasarkan spektrum UV-Vis menggunakan persamaan Lambert-Beer, nilai ε penting dalam penentuan struktur, karena terkait dengan transisi elektron yang dibolehkan atau transisi elektron terlarang. Dari nilai ini akan dapat diperkirakan kromofor dari senyawa yang dianalisis. Dengan

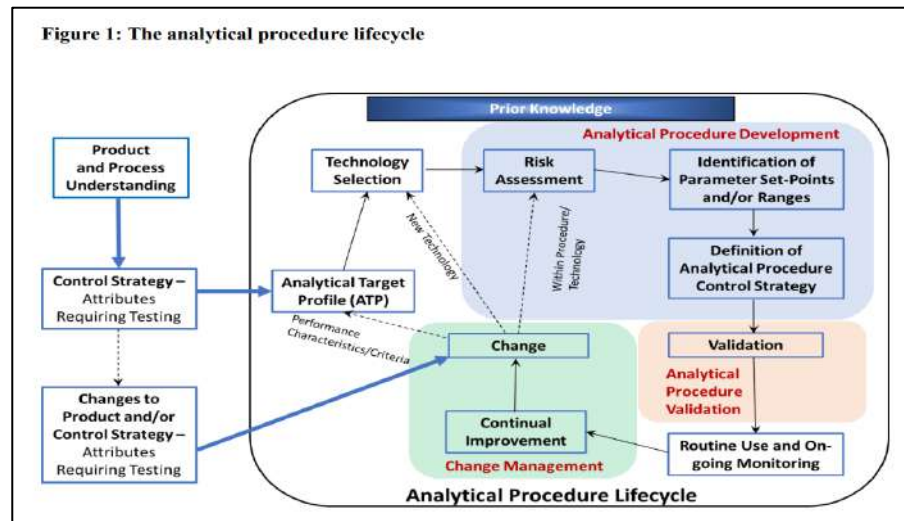
menggunakan persamaan Lambert-Beer, dapat dihitung berapa konsentrasi suatu senyawa dalam suatu pelarut (Suhartati, 2017).

C. Validasi Metode Analisis

Validasi metode adalah langkah yang dilakukan dengan tujuan untuk mengonfirmasi bahwa metode yang dilakukan untuk suatu uji sesuai dengan parameter yang telah ditetapkan (Iman et al., 2023). Sebelum studi validasi, protokol validasi harus dibuat. Protokol harus berisi informasi tentang tujuan prosedur analitis, dan karakteristik kinerja serta kriteria terkait yang akan divalidasi. Dalam kasus di mana pengetahuan yang sudah ada (misalnya, dari pengembangan atau validasi sebelumnya) digunakan, pembenaran yang tepat harus diberikan. Hasil studi validasi harus dirangkum dalam laporan validasi (ICH, 2022).

Tujuan pengembangan metode analisis adalah untuk memperoleh prosedur analisis yang sesuai dengan tujuan yang dimaksudkan; untuk mengukur suatu atribut atau atribut material dengan spesifisitas/ selektivitas yang diperlukan, akurasi, presisi pada rentang yang dapat dilaporkan. Rincian karakteristik kinerja yang dipertimbangkan untuk validasi prosedur analitis dijelaskan dalam ICH Q2. Pada bagian ini dijelaskan pendekatan minimal dan pendekatan yang ditingkatkan terhadap pengembangan prosedur analitis. Meskipun pendekatan minimal tetap merupakan pendekatan yang dapat diterima dalam pengembangan prosedur analitis yang kuat dan sesuai dengan tujuan yang dimaksudkan, beberapa atau seluruh elemen dari pendekatan yang disempurnakan

mungkin digunakan untuk mendukung pengembangan dan manajemen siklus hidup prosedur analitis (ICH, 2023a).



Gambar 10 Manajemen siklus prosedur analitis (ICH, 2023a).

Ada beberapa alasan valid untuk mengembangkan suatu metode analisis baru, yaitu: (1) tidak ada metode yang sesuai untuk analit tertentu dalam matriks sampel tertentu; (2) metode yang ada terlalu banyak menimbulkan kesalahan atau metode yang sudah ada tidak reliable (presisi dan akurasi rendah); (3) metode yang sudah ada terlalu mahal, membutuhkan waktu banyak, membutuhkan banyak energi, atau tidak dapat diotomatisasikan; (4) metode yang telah ada tidak memberikan sensitifitas atau spesifisitas yang mencukupi pada sampel yang dituju; (5) instrumentasi dan Teknik yang lebih baru memberikan kesempatan untuk meningkatkan kinerja metode tersebut, yang meliputi peningkatan identifikasi analit, peningkatan batas deteksi, serta akurasi dan presisi yang lebih besar; dan (6) ada suatu kebutuhan untuk mengembangkan metode alternative baik untuk alasan legal atau alasan saintifik (Gandjar & Rohman, 2013).

Dalam kasus tertentu, prosedur analitis dapat diterapkan pada beberapa produk dengan sedikit atau tanpa modifikasi kondisi pengukuran. Untuk penerapan baru prosedur analitis platform tersebut, pengembangan selanjutnya dapat disingkat, dan pengujian validasi tertentu dapat dihilangkan berdasarkan justifikasi berbasis sains dan risiko. Untuk karakteristik kinerja yang relevan harus didokumentasikan dalam profil target analitis Data yang diperoleh selama studi pengembangan (misalnya, data ketahanan dari studi *design of experiments* (DoE) dapat digunakan sebagai bagian dari data validasi untuk karakteristik kinerja prosedur analitis terkait dan studi tidak perlu diulangi (ICH, Analytical Procedure Development Q14; International Council for Harmonisation of Technical Requirements for Pharmaceuticals for Human Use, ICH Harmonised Guideline, 2023a).

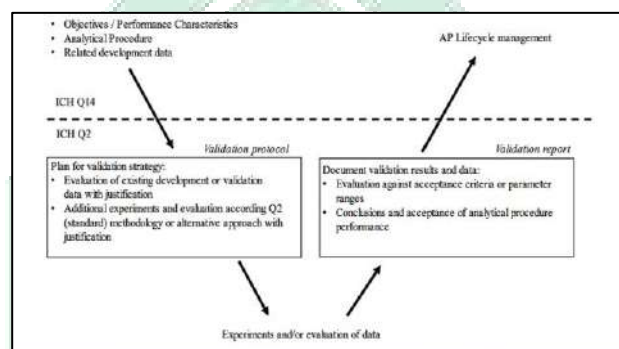
Pengembangan prosedur analitis minimal harus mencakup unsur-unsur berikut:

1. Mengidentifikasi atribut produk yang perlu diuji; parameter prosedur yang dapat mempengaruhi kinerja prosedur;
2. Memilih teknologi yang tepat dan instrumen terkait atau peralatan yang sesuai;
3. Melakukan studi untuk mengevaluasi karakteristik kinerja prosedur analitis seperti spesifisitas, akurasi dan presisi pada rentang yang dapat dilaporkan (termasuk model kalibrasi, batas rentang yang lebih rendah dan/atau lebih tinggi) dan ketahanannya;
4. Mendokumentasikan prosedur analitis termasuk pengendalian prosedur analitis strategi (ICH, 2023a).

Pendekatan yang ditingkatkan menawarkan cara sistematis untuk mengembangkan dan menyempurnakan pengetahuan tentang prosedur analitis dan menunjukkan pemahaman prosedur. Pemahaman produk dan proses menginformasikan atribut kualitas yang akan diuji. Kriteria kinerja yang diantisipasi untuk karakteristik kinerja yang relevan harus didokumentasikan dalam *analytical target profile* (ATP). Selain unsur-unsur pendekatan minimal, pendekatan yang disempurnakan dapat mencakup unsur-unsur berikut jika diperlukan:

1. Melakukan penilaian risiko dan mengevaluasi pengetahuan sebelumnya untuk mengidentifikasi analitis;
2. Melakukan eksperimen dan/atau pemodelan uni atau multivariat untuk mengeksplorasi rentang dan interaksi antara parameter prosedur analitis yang teridentifikasi;
3. Mendefinisikan strategi pengendalian prosedur analitis termasuk set-point dan/atau rentang parameter prosedur analitis yang relevan. Hal ini dapat mencakup rentang yang terbukti dapat diterima untuk prosedur analitis/ *proven acceptable ranges for analytical procedures* (PARs) dan/atau wilayah desain metode yang dapat dioperasikan/ *method operable design regions* (MODRs) (ICH, Analytical Procedure Development Q14; International Council for Harmonisation of Technical Requirements for Pharmaceuticals for Human Use, ICH Harmonised Guideline, 2023a).

Menerapkan elemen pendekatan yang ditingkatkan pada pengembangan dapat menghasilkan pemahaman yang lebih baik tentang dampak parameter prosedur analitis terhadap kinerja prosedur analitis dan lebih banyak fleksibilitas untuk manajemen siklus hidup, seperti rentang operasi yang lebih luas dan serangkaian kondisi yang ditetapkan/*established conditions* (EC) yang lebih sesuai dengan kategori pelaporan terkait (ICH, 2023a).



Gambar 11 Desain dan evaluasi studi validasi (ICH, 2022).

Adapun parameter yang umum digunakan untuk pengembangan metode analisis yaitu spesifisitas (*specificity*), linieritas (*linearity*), akurasi (*accuracy*), presisi (*precision*), batas kuantitasi (LOQ), dan batas deteksi (LOD).

1. Spesifisitas (*specificity*)

Spesifitas merupakan kemampuan menguji secara tepat analit dengan adanya komponen lain dan diperkirakan ada sebagai hasil degradasi, cemaran, dan matriks sampel (Kemenkes, 2020). Penentuan spesifisitas dilakukan dengan mempertimbangkan spektrum larutan standar, larutan sampel, dan matriks buatan dengan jumlah yang sama. Pengujian dilakukan dengan pengecekan spektrum larutan-larutan yang telah dibuat di spektrofotometer UV-Vis untuk diamati spektrum UV yang terbentuk (Iman et al., 2023).

Spesifitas atau selektivitas prosedur analitis dapat ditunjukkan melalui tidak adanya interferensi, perbandingan hasil dengan prosedur ortogonal, atau dapat secara inheren diberikan oleh prinsip-prinsip ilmiah yang mendasari prosedur analitis. Beberapa eksperimen dapat dikombinasikan dengan studi akurasi. Selektivitas dapat ditunjukkan ketika prosedur analitis tidak spesifik. Namun, pengujian analit yang akan diidentifikasi atau diukur dengan adanya potensi gangguan harus meminimalkan gangguan tersebut dan membuktikan bahwa pengujian tersebut sesuai dengan tujuannya (ICH, 2022).

Apabila satu prosedur analitis tidak memberikan diskriminasi yang memadai, maka disarankan untuk menggabungkan dua prosedur atau lebih untuk mencapai tingkat selektivitas yang diperlukan (ICH, 2022).

a. Absence of interference

Spesifisitas/selektivitas dapat ditunjukkan dengan menunjukkan bahwa identifikasi dan/atau kuantisasi suatu analit tidak dipengaruhi oleh keberadaan zat lain (misalnya pengotor, produk degradasi, zat terkait, matriks, atau komponen lain yang ada di lingkungan operasi) (ICH, 2022).

b. Orthogonal procedure comparison

Spesifisitas/selektivitas dapat diverifikasi dengan menunjukkan bahwa hasil pengukuran suatu analit sebanding dengan hasil pengukuran prosedur analitik kedua yang berkarakteristik baik (misalnya prosedur ortogonal) (ICH, 2022).

c. Technology inherent justification

Dalam beberapa kasus dimana spesifitas teknologi analitik dapat dipastikan dan diprediksi berdasarkan parameter teknis (misalnya resolusi

isotop dalam spektrometri massa, pergeseran kimia sinyal NMR), tidak diperlukan studi eksperimental, jika dapat dibenarkan (ICH, 2022).

Spesifisitas/selektivitas prosedur analitis harus ditunjukkan untuk memenuhi persyaratan keakuratan kandungan atau potensi analit dalam sampel. Data representatif (misalnya kromatogram, elektroferogram, atau spektrum) harus digunakan untuk menunjukkan spesifisitas dan masing-masing komponen harus diberi label yang sesuai. Diskriminasi yang sesuai harus diselidiki pada tingkat yang sesuai (misalnya, untuk pemisahan kritis dalam kromatografi, spesifisitas dapat ditunjukkan melalui resolusi dua komponen yang terelusi paling dekat satu sama lain). Sebagai alternatif, spektrum komponen yang berbeda dapat dibandingkan untuk menilai kemungkinan interferensi. Jika suatu prosedur tunggal dianggap tidak cukup selektif, maka prosedur tambahan harus digunakan untuk memastikan kekhususan yang memadai. Misalnya, jika titrasi digunakan untuk menetapkan kadar zat obat untuk pelepasannya, kombinasi penetapan kadar tersebut dan uji pengotor yang sesuai dapat digunakan (ICH, 2022).

2. Linieritas (*linearity*)

Linearitas merupakan kemampuan untuk menunjukkan hasil uji secara langsung atau dengan melalui transformasi matematik yang tepat proporsional terhadap konsentrasi analit dalam sampel dalam rentang yang diberikan. Dalam kaitan ini linearitas mengacu pada hubungan linear antara konsentrasi dan hasil pengukuran pengujian (Kemenkes, 2020).

Untuk melakukan validasi linearitas, larutan stok standar diencerkan dengan berbagai seri konsentrasi terlebih dahulu, kemudian dilakukan pengecekan dengan menggunakan spektrofotometer UV-Vis.

Hasil yang diperoleh selanjutnya dibuat kurva kalibrasi dengan menggunakan persamaan garis regresi linier ($y = a + bx$) dan menghitung nilai r dari persamaan garis linier (Iman et al., 2023). Persyaratan nilai koefisien korelasi (r) yakni harus lebih besar dari 0,995 (Trisnawati & Dewi, 2021).

Data yang diperoleh dari garis regresi dapat membantu memberikan estimasi matematis atas linearitas tersebut. Plot data, koefisien korelasi atau koefisien determinasi, intersep y - dan kemiringan garis regresi harus disediakan. Analisis penyimpangan titik data aktual dari garis regresi berguna untuk mengevaluasi linearitas (misalnya, untuk respons linier, dampak pola non-acak dalam plot residu dari analisis regresi harus dinilai). Untuk menciptakan linearitas, direkomendasikan minimal lima konsentrasi yang didistribusikan secara tepat pada rentang tersebut namun, konsentrasi tambahan mungkin diperlukan untuk lebih dari model yang kompleks. Pendekatan lain harus dibenarkan (ICH, 2022).

3. Akurasi (*accuracy*)

Akurasi merupakan tingkat kedekatan antara hasil pengujian dengan prosedur yang sedang divalidasi terhadap nilai yang benar. Akurasi harus ditetapkan meliputi rentang nilai benar tersebut (Kemenkes, 2020).

Akurasi harus ditunjukkan dalam kondisi pengujian reguler dari prosedur analitis (misalnya, dengan adanya matriks sampel dan menggunakan langkah-langkah persiapan sampel yang dijelaskan). Akurasi biasanya diverifikasi melalui salah satu penelitian yang dijelaskan di bawah. Dalam kasus tertentu (misalnya pengujian zat obat molekul kecil), keakuratan dapat disimpulkan setelah presisi, respons dalam rentang kerja, dan spesifisitas telah ditetapkan (ICH, 2022). Ada beberapa metode yang

dapat digunakan untuk menentukan parameter akurasi menurut ICH diantaranya.

1. *Reference material comparison*

Prosedur analitis diterapkan pada analit yang kemurniannya diketahui (misalnya, bahan acuan, pengotor yang terkarakterisasi dengan baik, atau zat terkait) dan hasil yang diukur versus hasil yang diharapkan secara teoritis dievaluasi (ICH, 2022). Perhitungan dilakukan pada setiap tingkat konsentrasi awal dan akhir larutan standar dan % *recovery*. (Iman et al., 2023). Berikut ini adalah rumus perhitungannya:

$$\% \text{ Recovery} = \frac{\text{Konsentrasi Uji}}{\text{Konsentrasi Teori}} \times 100\%$$

2. *Spiking Study*

Prosedur analitis diterapkan pada matriks yang seluruh komponennya kecuali analit dimana sejumlah analit yang diinginkan telah ditambahkan. Dalam kasus di mana seluruh komponen yang diharapkan tidak mungkin direproduksi, jumlah analit yang diketahui dapat ditambahkan ke sampel uji. Hasil pengukuran pada sampel yang tidak dibubuhi dan dibubuhi dievaluasi (ICH, 2022).

3. *Orthogonal procedure comparison*

Hasil dari prosedur analitis yang diusulkan dibandingkan dengan prosedur analitis kedua yang idealnya menerapkan prinsip pengukuran yang berbeda (independen). Prosedur ortogonal dapat digunakan dengan pengukuran pengotor kuantitatif untuk memverifikasi nilai pengukuran primer dalam kasus di mana perolehan sampel dari semua komponen relevan yang diperlukan untuk meniru matriks untuk studi pemulihan lonjakan tidak mungkin dilakukan (ICH, 2022).

Akurasi harus dinilai dengan menggunakan jumlah penentuan dan tingkat konsentrasi yang sesuai yang mencakup kisaran yang dapat dilaporkan (misalnya, 3 konsentrasi/3 ulangan masing-masing dari prosedur analitis penuh). Untuk uji pengotor, pendekatan penentuan pengotor individual atau total harus dijelaskan (misalnya, berat/berat atau persen luas terhadap analit utama). Akurasi harus dilaporkan sebagai persentase pemulihan rata-rata dengan pengujian jumlah analit tambahan yang diketahui dalam sampel atau sebagai perbedaan antara rata-rata dan nilai sebenarnya yang diterima bersama dengan interval kepercayaan. Keterulangan harus dinilai dengan menggunakan: Untuk penerapan kuantitatif prosedur analitis multivariat, metrik yang sesuai, misalnya, *root mean-squared error of prediction* (RMSEP), harus digunakan. Jika RMSEP ditemukan sebanding dengan kesalahan kalibrasi akar rata-rata kuadrat yang dapat diterima (RMSEC), maka ini menunjukkan bahwa model tersebut cukup akurat ketika diuji dengan set pengujian independen. Aplikasi kualitatif seperti klasifikasi, tingkat kesalahan klasifikasi, atau tingkat prediksi positif dapat digunakan untuk mengkarakterisasi akurasi. Interval kepercayaan yang sesuai (misalnya, 95%) untuk persentase pemulihan rata-rata atau selisih antara nilai rata-rata dan nilai sebenarnya yang diterima (yang sesuai) harus dibandingkan dengan kriteria penerimaan untuk mengevaluasi bias prosedur analitis. Kesesuaian interval kepercayaan harus dapat dibenarkan (ICH, 2022).

Batas akurasi yang dapat diterima seperti yang ditunjukkan pada Tabel ini (Wahyuni et al., 2022).

Tabel 6. Rentang maksimum akurasi yang diizinkan (Wahyuni et al., 2022).

<i>Active ingredient</i> (%)	<i>Analyte</i> <i>ratio</i>	<i>Unit</i>	<i>Mean recovery</i> (%)
100	1	100 %	98-102%
≥ 10	10 ⁻¹	10 %	98-102%
≥ 0.1	10 ⁻²	1 %	97-103%
0.01	10 ⁻³	0.10 %	95-105%
0.001	10 ⁻⁴	100 ppm	90-107%
0.0001	10 ⁻⁵	10 ppm	80-110%
0.00001	10 ⁻⁶	1 ppm	80-110%
0.000001	10 ⁻⁷	100 ppb	80-110%
0.000001	10 ⁻⁸	10 ppb	80-115%

4. Presisi (*precision*)

Presisi merupakan tingkat kedekatan diantara hasil uji individu bila prosedur diterapkan berulang kali terhadap sampling ganda atau sampel yang homogen. Presisi biasanya disebut dengan simpangan baku atau simpangan baku relative (koefisien variasi) dari satu seri pengukuran (Kemenkes, 2020).

International Conference on Harmonization merekomendasikan bahwa presisi *repeatability* dilakukan menggunakan minimal 9 penetapan, yaitu 3 konsentrasi dan 3 replikasi untuk masing-masing konsentrasi, atau menggunakan minimal 6 penetapan pada konsentrasi uji konsentrasi 100%. Batas presisi yang dapat diterima ditunjukkan pada **Tabel 7** (Wahyuni et al., 2022).

Tabel 7. Rentang Maksimum Presisi yang Diperbolehkan (Wahyuni et al., 2022).

<i>Concentration of analyte (%)</i>	<i>Concentration of analyte (ppm)</i>	<i>Concentration with w/w units</i>	<i>Concentration fraction</i>	<i>Horwitz Thompson reproducibility value (%RSD)</i>
100	-	1.000 g/g	1	2
1	10.000	10 mg/g	0.01	4
0.1	1000	1 mg/g	0.001	5.7
0.05	500	500 µg/g	0.0005	6
0.01	100	100 µg/g	0.0001	8
0.001	10	10 µg/g	0.00001	11
0.0001	1	1 µg/g	0.000001	16
0.00001	100 ppb	0.1 µg/g	0.000001	22
< 0.00001	< 100 ppb	< 0.1 µg/g	< 1x10 ⁻⁷	22

Untuk menentukan ketepatan metode, standar senyawa diperiksa pada hari yang sama (*intraday*) dan pada hari yang berbeda (*interday*) selama tiga hari untuk melihat besar absorbansi yang dihasilkan. Semua kegiatan dilakukan dalam replikasi sebanyak tiga pada standar (Iman et al., 2023). Hasil yang diperoleh kemudian dihitung nilai %RSD. Berikut ini adalah rumus perhitungannya:

$$SD = \sqrt{\frac{\sum(x - \bar{x})^2}{n - 1}}$$

$$\%RSD = \frac{SD}{\bar{x}} \times 100\%$$

Keterangan :

SD = *Standar Deviation*

n = Banyaknya data

x = nilai dari masing-masing pengukuran

\bar{x} = Rata-rata data

5. Penentuan Rentang

Rentang merupakan interval antara batas tertinggi dan batas terendah dari kadar analit yang telah dibuktikan, dapat ditentukan dengan presisi, akurasi dan linearitas yang sesuai menggunakan prosedur analisis yang ditetapkan. Rentang umumnya dinyatakan dalam satuan yang sama dengan hasil uji (misalnya persen, bpj, bpm) yang diperoleh dengan prosedur analisis ini (Kemenkes, 2020).

Batas terendah dan tertinggi ditentukan dengan menghitung konsentrasi analit yang memenuhi persyaratan presisi, akurasi, dan linearitas (Iman et al., 2023).

6. Penentuan Batas Deteksi (LOD) dan Batas Nilai Kuantifikasi (LOQ)

Batas deteksi merupakan karakteristik uji batas. Ini merupakan konsentrasi terendah analit dalam sampel yang dapat dideteksi, tetapi perlu kuantitatif dalam kondisi percobaan yang ditentukan. Uji batas semata-mata menunjang bahwa konsentrasi analit di atas atau di dibawah aras tertentu. Batas deteksi secara umum dinyatakan sebagai konsentrasi analit (misalnya persen, bpm, bpj) dalam sampel (Kemenkes, 2020).

Batas kuantifikasi merupakan karakteristik penetapan kuantitatif pada aras rendah dari senyawa dalam matriks sampel, Batas kuantitasi adalah konsentrasi terendah dari analit dalam sampel yang ditetapkan dengan akurasi dan presisi yang dapat diterima dalam kondisi percobaan yang telah ditetapkan. Batas kuantitasi dinyatakan sebagai konsentrasi analit (misalnya persen, bpj, bpm) dalam sampel (Kemenkes, 2020).

Batas deteksi dan kuantitasi dihitung secara statistik melalui garis regresi linier dari kurva kalibrasi. Nilai pengukuran akan sama dengan nilai

b pada persamaan garis linier $y = a + bx$, sedangkan simpangan baku blanko sama dengan simpangan baku residual (Sy/x) (Iman et al., 2023). Berikut adalah rumus perhitungan LOD dan LOQ:

$$LOD = 3,3 \frac{\left(\frac{Sy}{x}\right)}{b} \qquad LOQ = 10 \frac{\left(\frac{Sy}{x}\right)}{b}$$

Keterangan :

LOD = Batas deteksi

LOQ = Batas nilai kuantifikasi

Sy/x = Residual *standard deviation*

b = *Slope*

7. Ketegaran

Ketegaran merupakan ukuran kemampuan prosedur untuk tetap bertahan dan tidak terpengaruh oleh keragaman kecil yang disengaja pada parameter prosedur yang terdapat dalam dokumen. Ketegaran dapat ditentukan pada waktu pengembangan prosedur analisis (Kemenkes, 2020).

D. Tinjauan Islami

Islam adalah agama yang seluruh petunjuk hidup umatnya bersumber dari Alquran dan Hadis. Meskipun semua sudah dijelaskan dalam Islam, kita sebagai manusia yang berakal dan berilmu harusnya bisa mengembangkan ilmu pengetahuan yang ada agar kehidupan dimasa depan dapat memiliki taraf hidup yang lebih canggih dan memadai (Noryani, 2022). Pengembangan metode analisis merupakan salah satu bukti nyata pengembangan ilmu pengetahuan dibidang kimia farmasi. Sebelum metode tersebut digunakan oleh orang banyak sebagai rujukan penelitian, tentunya

terlebih dahulu perlu diteliti kebenarannya melalui studi validasi, sebagaimana firman Allah swt dalam Q.S. Al-Hujurat/49: 6.

يَا أَيُّهَا الَّذِينَ آمَنُوا إِن جَاءَكُمْ فَاسِقٌ بِنَبَأٍ فَتَبَيَّنُوا أَن تُصِيبُوا قَوْمًا بِجَهَالَةٍ فَتُصِحُّوا
عَلَىٰ مَا فَعَلْتُمْ نُدْمِينَ (٤)

Terjemahnya:

“Wahai orang-orang yang beriman, jika seorang fasik datang kepadamu membawa berita penting, maka telitilah kebenarannya agar kamu tidak mencelakakan suatu kaum karena ketidaktahuan(-mu) yang berakibat kamu menyesali perbuatanmu itu.” (Q.S. Al-Hujurat/49: 6) (LPMQ, 2022).

Ayat ini menurut banyak ulama turun terkait kasus yang menimpa Al-Walid Ibn ‘Uqbah Ibn Abi Mu’ith yang diutus Nabi Muhammad menuju ke Bani Al-Musthalaq untuk memungut zakat. Ketika anggota masyarakat yang dituju mendengar kedatangan utusan Nabi, yakni Al-Walid, mereka keluar dari perkampungan mereka untuk menyambutnya sambil membawa sedekah. Akan tetapi Al-Walid menduga bahwa mereka akan menyerangnya. Karena itu ia kembali sambil melaporkan kepada Rasulullah bahwa Bani Al-Musthalaq enggan membayar zakat dan bermaksud menyerang Rasulullah, (dalam riwayat lain dinyatakan bahwa mereka telah murtad). Mendengar hal itu, Rasulullah pun marah dan mengutus Khalid Ibn Walid menyelidiki keadaan sebenarnya sambil berpesan agar tidak menyerang mereka sebelum duduk persoalan menjadi jelas. Khalid ra. mengutus seorang informannya menyelidiki perkampungan Bani Al-Musthalaq yang ternyata masyarakat desa itu mengumandangkan azan dan melaksanakan salat berjamaah. Khalid kemudian mengunjungi mereka lalu menerima zakat yang telah mereka kumpulkan. Riwayat lain menyatakan bahwa justru mereka yang datang kepada Rasul saw. menyampaikan zakat sebelum Khalid Ibn Al-Walid melangkah ke perkampungan mereka (Mahfud, 2021).

Pesan utama dalam surat Al-Hujarat ayat 6 yaitu adab atau sikap bijaksana seorang mukmin sejati dalam menerima informasi. Melalui ayat tersebut, Allah swt memerintahkan kita untuk senantiasa melakukan *tabayyun*. *Tabayyun* disini maksudnya ialah tidak terburu-buru menyikapi, termasuk memberi penilaian, dan bahkan sampai menyebarkannya. Hal yang harus dilakukan yaitu meneliti dan memeriksanya sampai mengetahui kebenaran yang sesungguhnya (Mahfud, 2021). Selanjutnya, prinsip *tabayyun* dalam surat Al-Hujarat ayat 6 inilah dilakukan dalam penelitian pengembangan validasi metode analisis untuk senyawa *zerumbone* dengan menggunakan spektrofotometri UV-Vis untuk membuktikan bahwa metode tersebut benar sesuai dengan hasil yang diharapkan sehingga nantinya dapat menjadi rujukan penelitian-penelitian selanjutnya.

Zerumbone ini merupakan senyawa obat yang dapat ditemukan diberbagai jenis tumbuhan family *Zingiberaceae* (Kshirsagar et al., 2018); hal tersebut membuktikan bahwa Allah swt telah menciptakan beraneka macam tumbuh-tumbuhan di muka bumi ini, sebagaimana disebutkan didalam Q.S. Tāhā /20: 53.

الَّذِي جَعَلَ لَكُمُ الْأَرْضَ مَهْدًا وَوَسَّلَكَ لَكُمْ فِيهَا سُبُلًا وَأَنْزَلَ مِنَ السَّمَاءِ مَاءً
فَأَخْرَجْنَا بِهِ أَزْوَاجًا مِّنْ نَّبَاتٍ شَتَّى (٣٥)

Terjemahnya:

(Dialah Tuhan) yang telah menjadikan bumi sebagai hamparan dan meratakan jalan-jalan di atasnya bagimu serta menurunkan air (hujan) dari langit.” Kemudian, Kami menumbuhkan dengannya (air hujan itu) beraneka macam tumbuh-tumbuhan. (Q.S. Tāhā /20: 53) (LPMQ, 2022).

Menurut tafsir Tahlili kemenag, Tuhanlah yang menurunkan air hujan dari langit yang menyebabkan tumbuhnya tanam-tanaman dan buah-buahan yang bermacam-macam cita rasanya, ada yang masam, ada yang manis, bermacam ragam, jenis dan manfaatnya. Ada yang layak untuk manusia, dan

ada yang baik untuk binatang yang kesemuanya itu menunjukkan atas besarnya karunia dan banyaknya nikmat yang dilimpahkan Allah kepada semua hamba-Nya (LPMQ, 2022).

Tafsiran ayat di atas jika dihubungkan dengan tumbuhan pada *family Zingiberaceae* tentunya memiliki bermacam-macam ciri khas tersendiri, seperti lengkuas (*Alpinia galangal*) memiliki warna kuning pucat, memiliki rasa yang pedas, berbau khas (Ayuningtyas et al., 2022); Jahe mangga (*C. amada* Roxb.) memiliki kemiripan morfologi dengan jahe namun memberikan rasa mangga mentah (Policegoudra et al., 2011); Rimpang kunyit (*C. longa*) berwarna kuning, mempunyai rasa yang khas yaitu panas, getir, pahit, pedas, dan berbau “langu”, sedangkan daun asam hanya dominan menghasilkan rasa asam (Mulyani et al., 2014); Rimpang lempuyang wangi (*Z. aromaticum*) beraroma wangi, rasa pahit getir; Tanaman bangle (*Z. cassumunar* Roxb.) beraroma rimpang yang khas dan tidak sedap, terlebih lagi bau rimpang bangle hantu (*Zingiber ottensii*), disebut bangle hantu karena aromanya yang menyengat (Evizal, 2013); Jahe merah (*Z. officinale*) memiliki bau menyengat, rasa pedas, panas dan pahit (Siregar et al., 2022); Jahe hias (*Z. spectabile*) ini dikenal karena keindahannya sebagai bunga potong, bunganya berbentuk silinder, bibir bunga berwarna ungu dengan titik-titik kuning muda (Handayani, 2018); Lempuyang gajah (*Z. zerumbet*) memiliki ukuran rimpang yang besar berwarna kuning gading, dengan rasa yang cukup pahit, agak pedas, dan bau yang khas dari senyawa aromatik (*spice taste*) (Kapitan et al., 2017).

Allah swt menurunkan air hujan dari langit yang sangat dibutuhkan oleh makhluk-Nya. Walaupun dari air hujan dan tanah yang sama, namun ada perbedaan jenis tumbuhan yang tumbuh di muka bumi ini.

Sebagaimana yang telah disebutkan didalam Q.S. Ṭāhā /20: 53, lafal شَتَّى ini menjadi kata sifat daripada lafal أَرْوَاجًا maksudnya yang berbeda-beda warna, rasa, kandungan/komposisi serta lain-lainnya. Dibalik perbedaan jenis tumbuhan, namun terdapat juga kesamaan, seperti tumbuhan pada family *Zingiberacea* yang anggota genusnya kebanyakan mengandung senyawa metabolik primer *zerumbone*.

Zingiberaceae merupakan famili atau suku yang anggotanya banyak merupakan genus tanaman obat tradisional farmasi (seperti *zerumbone*). Dari beberapa jenis tanaman, rimpangnya atau buahnya digunakan selain sebagai bahan obat juga dikenal sebagai rempah atau bumbu baik pada makanan maupun minuman, bahan pewarna dan kosmetika (Evizal, 2013). Semuanya itu menunjukkan besarnya karunia dan banyaknya nikmat yang dilimpahkan Allah kepada semua hamba-Nya.

Kehadiran obat baru dari bahan alam seperti *zerumbone* (dalam tahap pengembangan) akan memberikan harapan hidup baru bagi pasien penderita penyakit-penyakit yang sulit disembuhkan seperti penyakit kanker. Proses dalam menemukan senyawa aktif ini mempunyai serangkaian tahapan yang sangat panjang dan melibatkan berbagai disiplin ilmu (Fatimah I. , 2017); terutama tahapan metode analisis. Atas izin Allah, *zerumbone* ini dapat menyembuhkan penyakit. Sesuai sabda Rasulullah saw:

حَدَّثَنَا هَارُونُ بْنُ مَعْرُوفٍ وَأَبُو الطَّاهِرِ وَأَحْمَدُ بْنُ عِيسَى قَالُوا حَدَّثَنَا ابْنُ وَهْبٍ أَخْبَرَنِي عَمْرُو وَهُوَ ابْنُ الْحَارِثِ عَنْ عَبْدِ رَبِّهِ بْنِ سَعِيدٍ عَنْ أَبِي الزُّبَيْرِ عَنْ جَابِرٍ عَنْ رَسُولِ اللَّهِ صَلَّى اللَّهُ عَلَيْهِ وَسَلَّمَ أَنَّهُ قَالَ لِكُلِّ دَاءٍ دَوَاءٌ فَإِذَا أُصِيبَ دَوَاءُ الدَّاءِ بَرَأَ بِإِذْنِ اللَّهِ عَزَّ وَجَلَّ

Artinya :

(Telah menceritakan kepada kami Harun bin Ma'ruf dan Abu Ath Thahir serta Ahmad bin 'Isa mereka berkata; Telah menceritakan

kepada kami Ibnu Wahb; Telah mengabarkan kepadaku 'Amru yaitu Ibnu Al Harits dari 'Abdu Rabbih bin Sa'id dari Abu Az Zubair dari Jabir dari Rasulullah shallallahu 'alaihi wasallam, beliau bersabda: "Setiap penyakit ada obatnya. Apabila ditemukan obat yang tepat untuk suatu penyakit, maka akan sembuhlah penyakit itu dengan izin Allah 'azza wajalla." (HR. Muslim no. 4084 Kitab Salam, shahih)

Kualitas hadis ini adalah sahih. Sebab, dari sisi periwayatan tidak ada komentar ulama yang memberikan penilaian negatif. Juga dari sisi sanad tersambung sejak sahabat sampai mudawin (Burhan et al., 2021). Hadis ini erat kaitannya dengan ilmu farmakognosi. Dimana ditemukan senyawa *zerumbone* yang berasal dari berbagai jenis rimpng tanaman dan berpotensi mengobati berbagai penyakit seperti antikanker, antioksidan, antibakteri, antiproliferative, hepatoprotektif, imunoregulasi, dan anti-inflamasi (Wahab et al., 2022)..

Perkembangan teknologi untuk proses pembuatan obat kini semakin maju dan menjadi tantangan tersendiri untuk menghasilkan obat yang bagus dan halal. Baik bahan aktif maupun bahan farmaseutik memiliki titik kritis kehalalan. Hal ini dimungkinkan oleh adanya perkembangan teknologi proses pembuatan dan produksi obat yang semakin maju (Burhan et al., 2021).

BAB III

METODOLOGI PENELITIAN

A. Jenis Penelitian dan Lokasi Penelitian

1. Jenis Penelitian

Metode yang digunakan pada penelitian ini adalah eksperimental laboratorium dalam uji validasi metode spektrofotometri UV-Vis.

2. Lokasi Penelitian

Penelitian ini dilakukan di Laboratorium Kimia Farmasi dan Laboratorium Fitokimia, Kampus II Fakultas Kedokteran dan Ilmu Kesehatan, Universitas Islam Negeri Alauddin Makassar.

3. Waktu Penelitian

Penelitian ini dilakukan terhitung 15 Desember 2023 – 30 Mei 2024.

B. Pendekatan Eksperimental

Pendekatan penelitian yang digunakan adalah pendekatan eksperimental yang dilakukan dengan berbagai tahap mulai pembuatan larutan baku sampai validasi metode analisis menggunakan spektrofotometri UV-Vis.

C. Sampel

Sampel yang digunakan pada penelitian ini yaitu baku *zerumbone* (*MarkHerb*[®]). dan lempuyang gajah (*Zingiber zerumbet* (*L.*)) (berasal dari Jeneponto).

D. Alat dan Bahan

1. Alat

Dalam penelitian ini diperlukan beberapa alat antara lain yakni corong 50 mm (*PhyEdumedia*[®]), botol vial 10 mL, gelas kimia 50 mL,

(*iwaki*[®]), gelas ukur 10 mL (*iwaki*[®]), *glass* kuvet (*Labcells*[®]), labu ukur 5 mL (*iwaki*[®]), labu ukur 10 mL (*iwaki*[®]), sonikator (*Granbo*[®]), mikropipet (*OneMed*[®]), dan spektrofotometer UV-Vis tipe Genesys 10S (*Thermo Scientific*[®]).

2. Bahan

Bahan yang digunakan dalam penelitian ini antara lain aquades (*WaterOne*[®]), aluminium foil (*Heavy Duty*[®]), *zerumbone* (*MerkHerb*[®]), lempuyang gajah (*Zingiber zerumbet (L.)*), Dimetil sulfoksida *for analysis* (DMSO PA) (*Supelco*[®]), dan n-heksan (*Emsure*[®]).

E. Cara Kerja

1. Pembuatan Larutan Stok Standar

Larutan stok standar *zerumbone* 1000 µg/mL dibuat dalam labu ukur 10 mL dengan melarutkan 10 mg *zerumbone* dalam 2,5 mL DMSO PA sebagai pengencer dan disonikasi selama 3 menit. Kemudian volumenya ditepatkan dengan pengencer sampai tanda batas (Hussein et al., 2022).

2. Penentuan Panjang Gelombang Maksimun

Larutan standar kerja *zerumbone* dibuat dengan 0,1 ml larutan stok (1000 µg/mL) dalam labu ukur 10 mL dan ditambahkan DMSO *for analysis* sampai tanda tera sehingga larutan menjadi 10 µg/mL, dipindai dalam kisaran antara 200 nm hingga 400 nm pada mode spektrum, menggunakan DMSO PA sebagai blanko (Hussein et al., 2022).

3. Penetapan *Operating Time*

Penentuan *operating time* dilakukan dengan mengambil sebanyak 0,5 mL larutan *zerumbone* 1000 µg/mL dimasukkan dalam labu ukur, lalu dicukupkan DMSO *for analysis* hingga 10 mL. Larutan diukur absorbansinya pada panjang gelombang maksimum yang telah diperoleh dengan interval

waktu 30 menit sampai diperoleh absorbansi yang stabil (Sukmawati et al., 2018).

4. Uji Spesifitas

Uji Spesifitas menunjukkan kemampuan untuk mengidentifikasi analit yang diinginkan berdasarkan aspek unik dari struktur molekulnya dan/atau sifat spesifik lainnya. Kemampuan prosedur analitik untuk mengidentifikasi analit dapat dipastikan dengan memperoleh hasil positif yang sebanding dengan bahan referensi menggunakan sampel yang mengandung analit, serta hasil negatif dari sampel yang tidak mengandung analit (ICH, 2023b).

Ekstrak *zerumbone* diperoleh dari 1000 g lempuyang gajah dengan cara didestilasi uap, hasil yang diperoleh berupa minyak atsiri kemudian dilarutkan dengan n-heksan dengan perbandingan 1 : 1, setelah itu dipisahkan dengan zat pengotor yang tidak larut (Fatimah et al., 2018).

Larutan *zerumbone* 10 µg/mL dibuat dengan memipet 100 µL larutan stok *zerumbone* 1000 µg/mL dalam labu takar 10 mL dan ditambahkan DMSO PA sampai tanda tera sehingga larutan menjadi 10 µg/mL, sonikasikan selama 3 menit.

Masing-masing larutan dibaca serapannya pada λ maksimal. absorbansi yang dihasilkan pada larutan *zerumbone* 10 µg/mL, ekstrak *zerumbone* dan DMSO PA sebagai blanko kemudian dibandingkan (Fatimah et al., 2018).

5. Penentuan Linearitas

Linearitas sampel diperiksa dengan membuat kurva kalibrasi dengan larutan kerja standar dalam rentang konsentrasi (Maddeppungeng et al., 2022). Konsentrasi larutan baku *zerumbone* dibuat sebanyak lima titik kurva kalibrasi dengan cara memipet larutan baku *zerumbone* 1000

$\mu\text{g/mL}$ masing-masing sebanyak 50; 100; 150; 200; dan 250 μL ke dalam labu ukur 5 mL. Setelah itu, diencerkan menggunakan DMSO PA hingga tanda batas sehingga didapatkan konsentrasi 10; 20; 30; 40; dan 50 $\mu\text{g/mL}$. Pengukuran dengan spektrofotometer UV-Vis dilakukan sebanyak tiga kali pengulangan (*triplo*). Hasil yang didapatkan kemudian diolah menggunakan microsoft excel sehingga diperoleh kurva linier $y = bx + a$ dengan r^2 sebagai linearitas determinan (Ayuni, 2022).

6. Limit of Detection (LOD) dan Limit of Quantity (LOQ)

Limit of Detection (LOD) dan *Limit of Quantity* (LOQ) dihitung secara statistik melalui garis regresi linier dari kurva kalibrasi (Iman et al., 2023). Batas kuantifikasi (LOQ) dan batas deteksi (LOD) ditentukan menggunakan persamaan berikut setelah memperoleh standar deviasi (SD) respon dan kemiringan kurva kalibrasi (Maddeppungeng et al., 2022).

$$SD = \sqrt{\frac{\sum(x - \bar{x})^2}{n - 1}}$$

SD = *Standar Deviation*; n = Banyaknya data; x = nilai dari masing-masing pengukuran; \bar{x} = Rata-rata data

$$LOD = 3,3 \times [(\sigma)/S]$$

$$LOQ = 10 \times [(\sigma)/S]$$

Dimana σ = SD respon data, dan S = kemiringan kurva kalibrasi.

7. Penentuan Akurasi

Metode yang digunakan *Reference Material Comparison* (ICH, 2022). Pengukuran dilakukan pada konsentrasi *zerumbone* 20, 30, dan 40 $\mu\text{g/mL}$. Kemudian diukur kadarnya menggunakan alat spektrofotometer UV-Vis pada panjang gelombang maksimum yang telah diperoleh, dengan blanko serapan DMSO *for analysis*. Pengukuran dilakukan secara triplo, kemudian

hitung persentase *recovery* dengan rumus pada persamaan berikut (Ayuni, 2022).

$$\% \text{ recovery} = \frac{\text{Konsentrasi yang diperoleh}}{\text{Konsentrasi sesungguhnya}} \times 100\%$$

8. Penentuan Presisi

Penentuan presisi dilakukan secara *intraday* dan *interday*. Sampel diukur pada tiga hari yang berbeda (*Interday*). Sedangkan secara *intraday*, sampel diukur pada hari yang sama dengan tiga kali pengulangan (Asma et al., 2022). Pengukuran secara *intraday* dan *interday* dilakukan pada konsentrasi 20, 30, dan 40 µg/mL. Kemudian dihitung nilai *relative standard deviation* dengan rumus pada persamaan berikut (Saputri & Muchtaridi, 2018).

$$\% \text{ RSD} = (\text{Standar Deviasi})/(\text{Rata – rata hasil pengujian}) \times 100\%$$

Dimana RSD = *relative standard deviation*

F. Aplikasi Metode Analisis pada Ekstrak Zerumbone yang diperoleh dari Lempuyang Gajah (*Zingiber Zerumbet* (L.))

1. Preparasi Sampel

Rimpang segar lempuyang gajah (*Zingiber Zerumbet* (L.)) lebih kurang 1 kg mula-mula dibersihkan, dicuci, diiris, kemudian dimasukkan ke dalam alat penyulingan uap yang berisi air dan dipanaskan. Saluran keluar alat dihubungkan ke peralatan gelas untuk menampung hasil sulingan yang mengandung minyak atsiri dan dikumpulkan dalam botol kaca bersih, disimpan pada suhu 4°C sampai analisis lebih lanjut (Rahman et al., 2013); (Foong et al., 2018).



Gambar 12 Contoh Rangkaian Destilasi Uap

2. Analisis Kadar Zerumbone

Kadar zerumbone pada ekstrak *zerumbone* dianalisis dengan spektrofotometri UV-Vis. Ukur absorbansi sampel pada spektrofotometri UV-Vis dengan panjang gelombang maksimum yang telah diperoleh sebelumnya. Sedangkan untuk menghitung kadar *zerumbone* dalam sampel dihitung dengan menggunakan persamaan regresi linear $y = bx \pm a$ yang diperoleh melalui kurva baku *zerumbone* (Arifiyana et al., 2019).

UNIVERSITAS ISLAM NEGERI
ALAUDDIN
MAKASSAR

BAB IV
HASIL DAN PEMBAHASAN

A. Hasil Penelitian

Data yang diperoleh dari hasil pengukuran adalah sebagai berikut.

1. Panjang Gelombang Maksimum

Tabel 8. Panjang Gelombang Maksimum.

Panjang Gelombang Maksimum	Konsentrasi ($\mu\text{g/mL}$)
212 nm	10

2. *Operating Time*

Tabel 9. Penentuan *Operating Time*.

Panjang Gelombang Maksimum (nm)	Konsentrasi ($\mu\text{g/mL}$)	Waktu Abs. stabil (menit)
212	10	-

3. Uji Spesifitas

Tabel 10. Uji Spesifitas.

Panjang Gelombang Maksimum (nm)	Sampel	Replikasi	Abs.	Rata-rata Abs.
212 nm	zerumbone 10 $\mu\text{g/mL}$	I	0,429	0,426667
		II	0,439	
		III	0,412	
212 nm	Minyak atsiri	I	0,114	0,11
		II	0,111	
		III	0,105	
212 nm	DMSO for analysis	I	-0,005	-0,00467
		II	-0,009	
		III	0	

4. Pengujian Linearitas

Tabel 11. Uji Linearitas.

Konsentrasi ($\mu\text{g/mL}$)	Absorbansi			
	R1	R2	R3	Rata-rata
10	0,461	0,472667	0,467	0,466889
20	0,527333	0,527333	0,525667	0,526778
30	0,588	0,585667	0,587667	0,587111
40	0,641667	0,641667	0,641667	0,641667
50	0,722	0,697667	0,708333	0,709333
Slop (b)	0,4064			
Intersep (a)	0,006			
R²	0,9991			

5. Pengujian LOD & LOQ

Tabel 12. Uji LOD & LOQ.

Konsentrasi/x ($\mu\text{g/mL}$)	Absorbansi/ y'	y	y - y'	(y-y') ²
10	0,466888889	0,4664	-0,00049	2,39012E-07
20	0,526777778	0,5264	-0,00038	1,42716E-07
30	0,587111111	0,5864	-0,00071	5,05679E-07
40	0,641666667	0,6464	0,00473	2,24044E-05
50	0,709333333	0,7064	-0,00293	8,60444E-06
SD	0,00282384			
LOD	1,553112168 $\mu\text{g/mL}$			
LOQ	4,70640051 $\mu\text{g/mL}$			

6. Pengujian Akurasi

Tabel 13. Uji Akurasi.

Konsentrasi ($\mu\text{g}/\text{mL}$)	Replikasi	Abs	Konsentrasi perolehan ($\mu\text{g}/\text{mL}$)	Recovery (%)
10	I	0,461	9,1	91,00%
	II	0,472667	11,0445	110,45%
	III	0,467	10,1	101,00%
20	I	0,527333	20,1555	100,78%
	II	0,52733	20,155	100,78%
	III	0,525667	19,87783333	99,39%
30	I	0,588	30,26666667	100,89%
	II	0,585667	29,87783333	99,59%
	III	0,587667	30,21116667	100,70%
40	I	0,641667	39,21116667	98,03%
	II	0,641667	39,21116667	98,03%
	III	0,641667	39,21116667	98,03%
50	I	0,722	52,26666667	104,53%
	II	0,697667	48,5445	97,09%
	III	0,708333	50,32216667	100,64%
Akurasi				91,00 - 110,45%

7. Pengujian Presisi

Tabel 14. Uji Presisi.

Konsentrasi ($\mu\text{g/mL}$)	Hari Ke-	Replikasi	Abs	Rata- rata abs.	SD	RSD (%)
20	1	I	0,527 333	0,5236	0,0032	0,62%
		II	0,527 33			
		III	0,525 667			
	2	I	0,526 333			
		II	0,519 333			
		III	0,523 667			
	3	I	0,519			
		II	0,524 667			
		III	0,519 667			
30	1	I	0,588	0,5853	0,0036	0,62%
		II	0,585 667			
		III	0,587 667			
	2	I	0,578 333			
		II	0,581 333			
		III	0,588			
	3	I	0,582			
		II	0,587			
		III	0,59			
40	1	I	0,641 667	0,642408	0,0031	0,49%
		II	0,641 667			
		III	0,641 667			
	2	I	0,647 333			
		II	0,641			
		III	0,644 667			
	3	I	0,642			
		II	0,635 667			
		III	0,646			
Rata-rata						0,58%

8. Aplikasi Metode Analisis pada Ekstrak Zerumbone yang diperoleh dari Lempuyang Gajah (*Zingiber zerumbet* (L.))

Tabel 15. Uji kadar zerumbone pada ekstrak lempuyang gajah (*Zingiber zerumbet*).

Sampel	Panjang Gelombang Maksimum (nm)	Abs.	Kadar Zerumbone ($\mu\text{g/mL}$)
Minyak atsiri rimpang Lempuyang Gajah (<i>Zingiber Zerumbet</i> (L.))	212 nm	0,11	-

B. Pembahasan

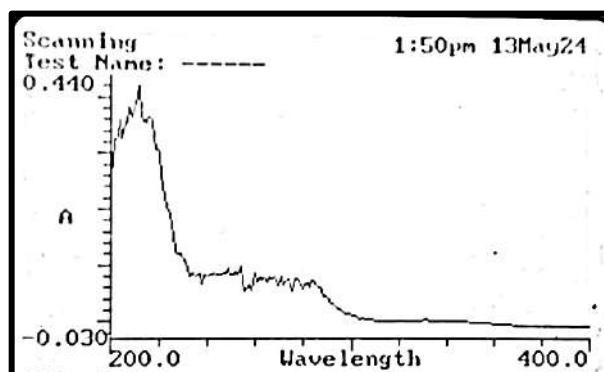
Zerumbone (2E, 6E, 10E) - 2,6,9,9 - tetramethyl-cycloundeca - 2,6,10-trien-1-one atau juga dikenal sebagai jahe biji pinus, jahe asia, jahe liar, atau jahe sampo merupakan senyawa seskuiterpen memiliki sebelas monosiklik alami (tiga unit isoprena) yang dapat diperoleh dari spesies *Zingiberaceae*, khususnya spesies *Zingiber* dan *Curcuma*. Senyawa ini mengandung gugus berbasis α , β -karbonil (gugus kromofor) dengan tiga ikatan rangkap. (Kesharwani & Bhat, 2020).

Analisa kuantitatif dalam penelitian ini yaitu menggunakan metode Spektrofotometri UV-Vis. Metode Spektrofotometri UV-Vis merupakan teknik yang paling umum digunakan dalam analisis farmasi. Teknik ini melibatkan pengukuran jumlah ultraviolet atau radiasi tampak yang diserap oleh suatu zat dalam larutan. Kelebihan dari instrumen ini dapat digunakan untuk menganalisis banyak zat organik maupun anorganik, selektif, analisis dapat dilakukan dengan cepat dan tepat, mempunyai ketelitian yang tinggi dengan kesalahan relatif sebesar 1%-3%, serta dapat digunakan untuk menetapkan kuantitas zat yang sangat kecil. Selain itu, hasil yang diperoleh cukup akurat, dimana angka yang terbaca langsung

dicatat oleh detektor dan tercetak dalam bentuk angka digital ataupun grafik yang sudah diregresikan Suatu metode dalam penelitian perlu dilakukan validasi karena tempat, waktu, dan sampel yang digunakan dalam penelitian itu berbeda dengan yang sudah dilakukan peneliti lain. Selain itu, penelitian ini dikerjakan oleh analis yang berbeda dan dengan alat yang berbeda pula sehingga validasi diperlukan untuk menjamin mutu dari suatu metode. Validasi ini juga bertujuan untuk memastikan bahwa metode yang akan digunakan telah memenuhi persyaratan untuk aplikasi analisis dan dapat dipertanggungjawabkan kebenarannya (Rohmah et al., 2021).

Pada penelitian ini langkah pertama yang harus disiapkan yaitu membuat larutan baku, larutan ini merupakan larutan yang konsentrasinya lebih besar dan digunakan untuk membuat larutan seri konsentrasi dengan cara pengenceran.

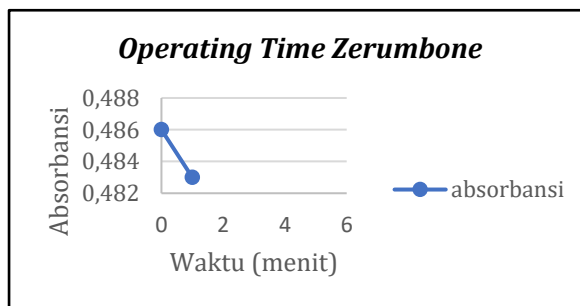
Penentuan panjang gelombang maksimum dilakukan bertujuan untuk menghasilkan kepekaan yang maksimal, disekitar panjang gelombang maksimum akan berlaku hukum *Lambert-Beer* dan jika dilakukan pengukuran ulang maka kemungkinan kesalahan yang terjadi kecil (Fatimah et al., 2018). Berdasarkan **Tabel 8**, hasil yang diperoleh menunjukkan bahwa panjang gelombang maksimal dalam pembacaan absorbansi *zerumbone* yaitu 212 nm dengan profil memiliki 0,420 puncak yang merupakan ciri khas spektra *zerumbone* (**Gambar 13**).



Gambar 13 Grafik Penentuan Panjang Gelombang Zerumbone Menggunakan Spektrofotometri UV-Vis.

Menurut penelitian yang dilakukan oleh Manandhar dkk (2024) panjang gelombang maksimum zerumbone yaitu 245 nm (menggunakan pelarut *methanol for analysis*) (Manandhar et al., 2024), sedangkan pada penelitian yang telah dilakukan (**Tabel 8**) dengan menggunakan pelarut DMSO PA dihasilkan panjang gelombang 212 nm, hal ini terjadi efek hipsokromik (*blue shift*), yaitu pergeseran panjang gelombang maksimal ke arah panjang gelombang yang lebih pendek (Gandjar & Rohman, 2015). Polaritas pelarut dapat mempengaruhi warna kromofor, menyebabkan pergeseran hipsokromik (biru) atau pergeseran batokromik (merah). Efek ini disebut solvatokromisme. Karena momen dipol keadaan dasar dan keadaan tereksitasi berbeda, perubahan polaritas pelarut akan menyebabkan stabilisasi diferensial keadaan dasar dan keadaan tereksitasi dan oleh karena itu, perubahan kesenjangan energi antara keadaan, keadaan tereksitasi, dan karenanya terjadi perubahan kesenjangan energi antar daerah bagian (Christian et al., 2014).

Tujuan penentuan *operating time* adalah untuk mengetahui waktu pembacaan serapan *zerumbone* yang stabil (Fatimah et al., 2018). Berdasarkan **Tabel 9**, hasil absorbansi yang stabil tidak dihasilkan karena sifat dari *zerumbone* bersifat volatil.

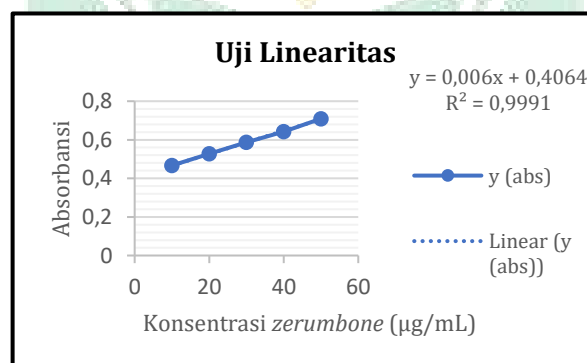


Gambar 14 Operating time *zerumbone*

Berdasarkan Petunjuk ICH, *Validation of Analytical Procedures* tahun 2023, parameter yang dapat digunakan untuk melihat kevalidan suatu metode analisis diantaranya uji spesifisitas, linieritas, akurasi, presisi, LOD (*Limit Of Detection*) dan LOQ (*Limit Of Quantitation*).

Spesifitas atau selektivitas ditujukan untuk melihat sejauh mana metode dapat mengukur analit yang diinginkan dalam matriks sampel yang dianalisis tanpa gangguan dari matriks tersebut (termasuk analit lainnya). Efek matriks bisa positif atau negatif (Christian et al., 2014). Berdasarkan **Tabel 10** pengujian spesifitas dengan menggunakan λ maksimal 212 nm terdapat respon positif adanya senyawa *zerumbone* pada larutan standar dan sampel ekstrak *zerumbone* yang diperoleh dari lempuyang gajah (*Zingiber Zerumbet* (L.)) (dengan nilai absorbansi 0,11) sedangkan DMSO PA sebagai blanko menghasilkan respon negatif, sehingga panjang gelombang 212 nm ini dapat digunakan untuk penetapan kadar *zerumbone* pada sampel.

Uji linieritas dilakukan untuk melihat hubungan linier antara konsentrasi analit dan respons (absorbansi). Untuk menilai linearitas selama validasi, ICH merekomendasikan minimal lima konsentrasi yang berbeda (ICH, 2022). kemudian dibaca absorbansi pada panjang gelombang maksimal 212 nm. Semakin linier maka kinerja metode yang digunakan untuk rentang konsentrasi yang diukur dalam kondisi sangat baik (Fatimah et al., 2018). Penentuan uji linieritas yang diharapkan adalah $r^2 \geq 0,99$. Data yang diukur dapat diubah secara matematis jika diperlukan (ICH, 2022). Berdasar **Tabel 11** persamaan regresi linier yang dihasilkan yaitu $y = 0,006x + 0,4064$ dengan nilai $r^2 = 0,9991$.



Gambar 15 Uji Linearitas

Pengujian akurasi bertujuan untuk mengetahui tingkat kedekatan antara hasil pengujian dengan prosedur yang sedang divalidasi terhadap nilai yang benar atau ditetapkan (Kemenkes, 2020). *International Conference on Harmonization* merekomendasikan pengujian akurasi dengan menggunakan jumlah penentuan dan tingkat konsentrasi yang sesuai yang mencakup rentang yang dapat dilaporkan (misalnya, 3 konsentrasi atau 3 ulangan untuk setiap prosedur analisis lengkap). Akurasi harus dilaporkan sebagai persentase perolehan kembali rata-rata dari jumlah tambahan analit yang diketahui dalam sampel (ICH, 2022).

Persen perolehan kembali yang diharapkan adalah 80-120 % (ICH, 2022). Pada **Tabel 13** menunjukkan nilai recovery berada pada rentang 91,00 - 110,45%. Hal tersebut berarti terdapat derajat kedekatan hasil analisis dengan kadar analit yang sebenarnya.

Pengujian presisi dilakukan untuk menunjukkan derajat kesesuaian antara hasil yang diukur di bawah kondisi yang ditentukan. Semakin presisi metode analisis, maka simpangan baku (RSD) yang diperoleh semakin kecil. Nilai simpangan baku yang diharapkan adalah $\leq 2\%$ (Fatimah et al., 2018). Presisi pada penelitian ini dinyatakan sebagai *repeatability* (keterulangan). Presisi dilakukan secara *intraday* dan *interday* dengan peralatan dan laboratorium yang sama. Presisi dilakukan dengan 3 konsentrasi yang berbeda kemudian dilakukan pembacaan absorbansi seperti pada **Tabel 14** RSD 0,58 % menunjukkan metode spektrofotometri UV-Vis memiliki keseragaman nilai yang tinggi.

Limit of Detection (LOD) merupakan konsentrasi terendah dalam analit yang dapat dideteksi namun tidak perlu terkuantisasi di bawah kondisi pengujian yang disepakati. LOD dapat berfungsi sebagai parameter untuk melihat sensitivitas suatu metode analisis (Fatimah et al., 2018). Berdasarkan **Tabel 12** nilai LOD dapat dihitung dari persamaan regresi linier kurva baku $y = 0,006x + 0,4064$ dengan simpangan baku (σ) 0,00282384 dan slope (s) 0,006, diperoleh LOD 1,553112168 $\mu\text{g/mL}$ yang berarti bahwa konsentrasi tersebut merupakan konsentrasi terendah *zerumbone* yang dapat diperoleh tanpa terkuantitas secara tepat.

Limit of Quantity (LOQ) merupakan nilai kuantitas terkecil analit dalam sampel yang masih memenuhi kriteria cermat. Seperti nilai LOD, nilai LOQ dapat dihitung dari persamaan regresi linier kurva baku (Fatimah et

al., 2018). $y=0,006x + 0,4064$ dengan simpangan baku (σ) 0,00282384 dan slope (s) 0,006 Berdasarkan **Tabel 12** diperoleh batas kuantitas sebesar 4,70640051 $\mu\text{g/mL}$ yang berarti bahwa konsentrasi terendah *zerumbone* yang dapat diperoleh dengan terkuantitas secara tepat adalah 4,70640051 $\mu\text{g/mL}$.

Tabel 16. Hasil Uji parameter validasi.

Uji	Hasil	Rujukan	Kesimpulan
Linearitas	$R^2 = 0,9991$	$R^2 \geq 0,99$	Memenuhi
LOD	1,55 $\mu\text{g/mL}$	-	
LOQ	4,70 $\mu\text{g/mL}$	-	
Akurasi	91,00 - 110,45%	80 - 120%	
Presisi	0,58 %	$\leq 2\%$	
Spesifitas	(+)	Positif terdapat <i>zerumbone</i>	

Setelah lima uji parameter validasi dilakukan, maka metode analisis ini diaplikasikan dalam penentuan kadar *zerumbone* dalam ekstrak lempuyang gajah (*Zingiber Zerumbet* (L.)) (minyak atsiri 2 mL dilarutkan dalam 2 mL n heksan), diukur absorbansinya dengan panjang gelombang maksimum 212 nm dan diperoleh 0,11. Kadar *zerumbone* dihitung menggunakan persamaan $y = 0,006x + 0,4064$ diperoleh hasil yang negatif, ini dikarenakan kadar yang terdeteksi dibawah LOQ. Selain itu ekstrak lempuyang gajah (*Zingiber Zerumbet* (L.)) disimpan dalam suhu dingin ($\pm 2-8^\circ\text{C}$) sekitar ± 4 bulan lamanya dan sifatnya yang volatil menjadi salah satu faktor penyebab kurangnya *zerumbone* dalam ekstrak/ minyak atsiri tersebut.

BAB V

KESIMPULAN DAN SARAN

A. Kesimpulan

Berdasarkan penelitian yang telah dilakukan dapat disimpulkan sebagai berikut:

1. Metode analisis *zerumbone* dengan menggunakan metode spektrofotometri UV-Vis telah dikembangkan menggunakan pelarut DMSO dengan kelarutan yang sangat larut dan menghasilkan absorbansi yang baik.
2. Validasi metode analisis *zerumbone* dengan metode spektrofotometri UV-Vis menunjukkkn bahwa semua parameter uji memenuhi persyaratan berdasarkn standar ICH meliputi uji spesifitas, linearitas ($R^2 = 0,9991$), LOD ($1,55 \mu\text{g/mL}$), LOQ ($4,70 \mu\text{g/mL}$), akurasi (91,00 - 110,45%), dan presisi (0,58 %).

B. Saran

Disarankan kepada peneliti selanjutnya untuk melakukan parameter uji validasi selain yang dilakukan pada penelitian ini berdasarkan standar ICH dengan menggunakan pelarut yang sama maupun pelarut yang berbeda, selain itu pada aplikasi metode analisis dilakukan teknik ekstraksi yang berbeda untuk melihat perbedaan kadar *zerumbone* yang terdapat pada sampel.

DAFTAR PUSTAKA

- Akhtar, N. M., Jantan, I., Arshad, L., & Haque, M. A. (2019). Standardized ethanol extract, essential oil and zerumbone of Zingiber zerumbet rhizome suppress phagocytic activity of human neutrophils. *BMC Complementary and Alternative Medicine*, 19(331), 1-12. <https://doi.org/10.1186/s12906-019-2748-5>
- Alquran & Terjemahnya, L. P. (2019). *Qur'an Kemenag in Word*. Jakarta: Kementerian Agama RI.
- Arifiyana, D., Harjanti, H., Sri, Y., Ebtavanny, E., & Gusti, T. (2019). Analisis Kuantitatif Hidrokuinon pada Produk Kosmetik Krim Pemutih yang Beredar di Wilayah Surabaya Pusat dan Surabaya Utara dengan Metode Spektrofotometri UV-Vis. *Akta Kimia Indonesia*, 4(2), 107-117. <https://doi.org/10.12962/j25493736.v4i2.5532>
- Asma, N., Maddeppungeng, N. M., Raihan, M., Erdiana, A. P., Himawan, A., & Permana, A. D. (2022). New HPLC-UV analytical method for quantification of metronidazole: Application to ex vivo ocular kinetic assessments following the administration of thermosensitive ocular in situ gel. *Microchemical Journal*, 172. <https://doi.org/10.1016/j.microc.2021.106929>
- Ayuni, B. F. (2022). Validasi Metode Analisis Kafein pada Kopi Latte dengan Spektrofotometri UV-Vis. *Analit: Analytical and Environmental Chemistry*, 7(2), 155-164. <https://doi.org/10.23960/2Faec.v7i02.2022.p155-164>
- Ayuningtyas, R. P., Yuliani, N., & Srikandi. (2022). Galangal Rhizome (*Alpinia galanga* (L.) Willd) Essential Oil as a Natural Preservative of Chicken Fillets. *Jurnal Sains Natural*, 12(2), 85-94. <https://doi.org/10.31938/jsn.v%2012i2.342>
- Burhan, A., Darmalaksana, W., Hadisantoso, E. P., & Rusliana, I. (2021). Takhrij and Syarah Hadith on Chemistry: Islamic Perspective on Chemical-Based Medicines. *Conference on Chemistry and Hadits Studies*. Bandung: Gunung Djati Conference Series. Retrieved from <https://conferences.uinsgd.ac.id/index.php/gdcs>
- Christian, G. D., Dasgupa, P. K., & Schug, K. A. (2014). *Analytical Chemistry 7th Edition*. USA: Wiley.
- Evizal, R. (2013). *Tanaman Rempah dan Fitofarmaka*. Bandar Lampung: Lembaga Penelitian Universitas Lampung.
- Fatimah, I. (2017). *Refleksi Nilai-nilai Keislaman pada Perkembangan dan Aplikasi Ilmu Kimia*. Yogyakarta: Universitas Islam Indonesia.
- Fatimah, S. F., Aisyah, V., Nurani, L. H., & Edityaningrum, C. A. (2018). Validasi Metode Analisis β -Karoten Dalam Ekstrak Etanol 96% Spirulina maxima Dengan Spektrofotometri Visibel. *Media Farmasi*, 15(1), 1-13. <https://doi.org/10.12928/mf.v15i1.12354>
- Fatmawaty, S. (2018). Validasi Metode Analisis β -Karoten dalam Ekstrak Etanol 96% Spirulina maxima dengan Spektrofotometri Visibel. *Media Farmasi*, 15(1), 1-13. <https://doi.org/10.12928/mf.v15i1.12354>

- Foong, J. N., Selvarajah, G. T., Rasedee, A., Rahman, H. S., How, C. W., Beh, C. Y., . . . Ku, C. L. (2018). Zerumbone-Loaded Nanostructured Lipid Carrier Induces Apoptosis of Canine Mammary Adenocarcinoma Cells. *Hindawi*, 2018, 1-8. <https://doi.org/10.1155/2018/8691569>
- Gandjar, I. G., & Rohman, A. (2013). *Analisis Obat Secara Spektrofotometri dan Kromatografi*. Yogyakarta: Pustaka Pelajar.
- Gandjar, I. G., & Rohman, A. (2015). *Spektroskopi Molekuler untuk Analisis Farmasi*. Yogyakarta: Gadjah Mada University Press.
- Gandjar, I. G., & Rohman, A. (2018). *Spektroskopi Molekuler Untuk Analisis Farmasi*. Yogyakarta: Gadjah Mada University Press.
- Girisa, S., Shabnam, B., Monisha, J., Fan, L., Halim, C. E., Arfuso, F., . . . Kunnumakkara, A. B. (2019). Potential of Zerumbone as an Anti-Cancer Agent. *Molecules*, 1-20. <https://doi.org/10.3390/molecules24040734>
- Haeria. (2023). Metode dan Jenis Pelarut untuk Ekstraksi Zerumbone dari Rimpang Zingiber zerumbet L. Smith: Kajian Pustaka. *Jurnal Farmasi UIN Alauddin*, 11(1), 1-6. <https://doi.org/10.24252/jfuinam.v11i1.37390>
- Handayani, D. (2018). Variasi Perbungaan Zingiberaceae. *Jurnal Biosains*, 4(1), 45-54. Retrieved from <http://jurnal.unimed.ac.id/2012/index.php/biosains>
- Hanwar, D., Elisafitri, O., & Suhendi, A. (2019). Standarisasi Ekstrak Rimpang Lempuyang Gajah (Zingiber Zerumbet Smith). *The 9 th University Research Colloqium 2019 Universitas Muhammadiyah Purworejo*, 345-352. Retrieved from <http://eproceedings.umpwr.ac.id/index.php/urecol9/article/view/580>
- Hussein, H. N., Pashavan, C. T., Patel, A., & Joshi, H. S. (2022). A rapid sensitive and an efficient method development and validation of carfilzomib by UV-Vis spectrophotometric analysis. *Word Scientific News An International Scientific Journal*, 57-68. Retrieved from <https://yadda.icm.edu.pl/yadda/element/bwmeta1.element.psjd-7295f4d7-41e1-4622-bc5a-cb363eedfe4c>
- Hwang, J., Youn, K., Ji, Y., Lee, S., Lim, G., Lee, J., . . . Jun, M. (2020). Biological and Computational Studies for Dual Cholinesterases Inhibitory Effect of Zerumbone. *Nutrients*. <https://doi.org/10.3390/nu12051215>
- Ibáñez, M. D., Sánchez-Ballester, N. M., & Blázquez, M. A. (2022). Healthy Zerumbone: From Natural Sources to Strategies to. (J. Palá-Pául, Ed.) *Plants*, 12(5). <https://doi.org/10.3390/plants12010005>
- ICH. (2022). *Validation of Analytical Procedures Q2(R2)*. European Medicines Agency. Retrieved from https://www.ema.europa.eu/en/documents/scientific-guideline/ich-guideline-q2r2-validation-analytical-procedures-step-2b_en.pdf
- ICH. (2023a). *Analytical Procedure Development Q14; International Council for Harmonisation of Technical Requirements for Pharmaceuticals for Human Use, ICH Harmonised Guidline*. ICH Harmonisation for Better Health. Retrieved from

https://database.ich.org/sites/default/files/ICH_Q14_Guideline_2023_1116.pdf

- ICH. (2023b). *Validation of Analytical Procedures Q2(R2): International Council for Harmonisation of Technical Requirements for Pharmaceuticals for Human Use, ICH Harmonised Guideline*. ICH Harmonisation For Better Health. Retrieved from https://database.ich.org/sites/default/files/ICH_Q2%28R2%29_Guideline_2023_1130.pdf
- Iman, A. A., Auli, W. N., & Sukrasno. (2023). Validation and development of UV-Vis spectrophotometer analysis methods for alpha-tocopherol acetate. *Indonesian Journal of Pharmacy*, 19(1), 87-96. Retrieved from <http://journal.uui.ac.id/index.php/JIF>
- Kalantari, K., Moniri, M., Moghaddam, A. B., Rahim, R. A., Ariff, A. B., Izadiyan, Z., & Mohamad, R. (2017). A Review of the Biomedical Applications of Zerumbone and the Techniques for Its Extraction from Ginger Rhizomes. *Molecules*. <https://doi.org/10.3390/molecules22101645>
- Kapitan, O. B., Ambarsari, L., & Falah, S. (2017). In Vitro Antibakteri Ekstrak Etanol Puni (Zingiber zerumbet) Asal Pulau Timor. *Savana Cendana*, 2(2), 29-32. <https://doi.org/10.32938/sc.v2i02.82>
- Kemenkes. (2020). *Farmakope Indonesia Edisi VI*. Jakarta: Kementerian Kesehatan Republik Indonesia.
- Kesharwani, S. S., & Bhat, G. J. (2020). Formulation and Nanotechnology-Based Approaches for Solubility and Bioavailability Enhancement of Zerumbone. *Medicina*, 56(557), 1-13. <https://doi.org/10.3390/medicina56110557>
- Kongkiatpaiboon, S., Saereewat, C., Tayana, N., Duangdee, N., & Inthakusol, W. (2023). Isolation and ultra-high performance liquid chromatography analysis of zerumbone and zerumbone epoxide in Zingiber zerumbet rhizomes. *Kasetsart Journal (Natural Science)*, 057(1), 99-106. <https://doi.org/doi.org/10.34044/j.anres.2023.57.1.10>
- Kshirsagar, P. R., Pawar, N. V., Patil, S. P., Nimbalkar, M. S., & Pai, S. R. (2018). Quantification of Zerumbone in Eleven Cultivars of *Curcuma longa* Using RP-HPLC. *Indian Journal of Pharmaceutical Sciences*. <https://doi.org/10.4172/pharmaceutical-sciences.1000469>
- LPMQ. (2022). *Qur'an Kemenag*. Jakarta: Kementerian Agama Republik Indonesia. Retrieved from <https://quran.kemenag.go.id/>
- Maddeppungeng, N. M., Mir, M., Raihan, M., Wahyudin, E., Asma, N., Layadi, P., . . . Permana, A. D. (2022). Application of quality by design approach in HPLC-UV validation of ciprofloxacin in porcine ocular tissue and simulated ocular fluid for quantification in an ex vivo ocular kinetic study. *Chemical Data Collections*, 41. <https://doi.org/10.1016/j.cdc.2022.100900>
- Mahfud, A. (2021). *Penafsiran Surat Al-Hujurat Ayat 6 dan Kontekstualisasinya di Era Post-Truth*. Universitas Islam Negeri Walisongo Semarang. Retrieved from <https://eprints.walisongo.ac.id/id/eprint/17525>
- Manandhar, B., Paudel, K. R., Clarence, D. D., Rubis, G. D., Madheswaran, T., & Panneerselvam, J. (2024). Zerumbone-incorporated liquid crystalline

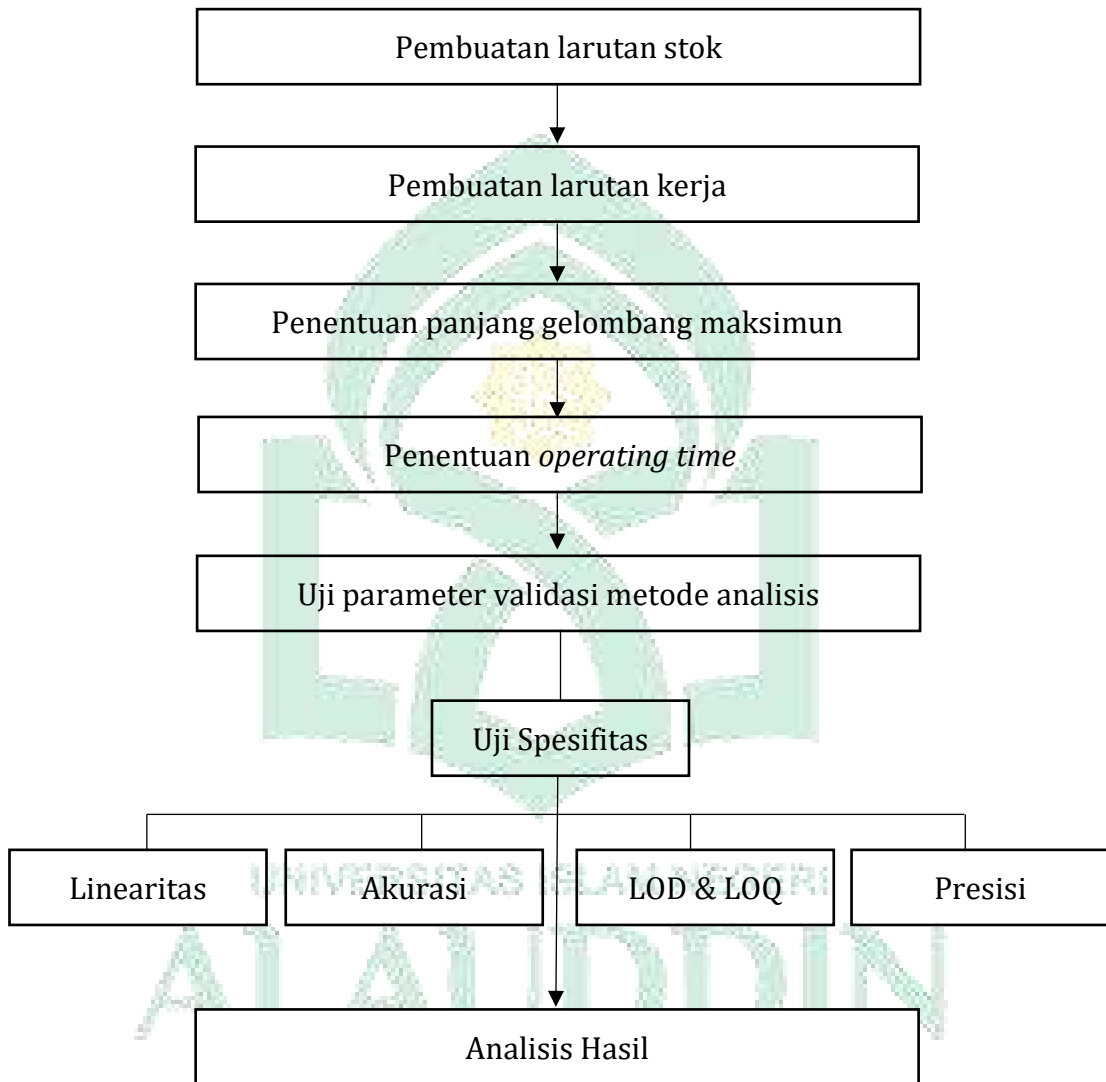
- nanoparticles inhibit proliferation and migration of non-small-cell lung cancer in vitro. *Naunyn-Schmiedeberg's Archives of Pharmacology*, 397, 343-356. <https://doi.org/10.1007/s00210-023-02603-5> RES
- Md, S., Kit, B. C., Jagdish, S., David, D. J., Pandey, M., & Chatterjee, L. A. (2018). Development and In Vitro Evaluation of a Zerumbone Loaded Nanosuspension Drug Delivery System. *Crystals*, 8(286), 1-13. <https://doi.org/10.3390/cryst8070286>
- Mulyani, S., Harsojuwono, B. A., & Puspawati, G. A. (2014). Potensi Minuman Kunyit Asam (Curcuma domestica Val. -Tamarindus indica L.) Sebagai Minuman Kaya Antioksidan. *Agritech*, 34(1), 65-71. Retrieved from <https://media.neliti.com/media/publications/95696-none-3376cb6f.pdf>
- Munawarah. (2021). Revitalisasi Prinsip Tabayyun dan Qaula Sadida dalam Mewujudkan Harmoni Berkomunikasi. *Syams: Jurnal Studi Keislaman*, 2(2), 35-48. <https://doi.org/doi.org/10.23971/js.v2i2.3868>
- NCBI. (2023, October 24). PubChem Compound Summary for CID 5470187, Zerumbone. Retrieved from <https://pubchem.ncbi.nlm.nih.gov/compound/Zerumbone>.
- Noryani, I. (2022). Kimia dalam Pandangan Islam: Upaya Mencari Titik Temu. *Global Islamika: Jurnal Studi dan Pemikiran Islam*, 1(1), 44-50. <https://doi.org/10.5281/zenodo.7030439>
- Policegoudra, R., Aradhya, S., & Singh, L. (2011). Mango ginger (Curcuma amada Roxb.) – A promising spice for phytochemicals and biological activities. *J Biosci*, 36, 739–748. <https://doi.org/10.1007/s12038-011-9106-1>
- Rahman, H. S., Rasedee, A., How, C. W., Abdul, A. B., Zeenathul, N. A., Othman, H. H., . . . Yeap, S. K. (2013). Zerumbone-loaded nanostructured lipid carriers: preparation, characterization, and antileukemic effect. *International Journal of Nanomedicine*, 8, 2769–2781. <https://doi.org/10.2147/IJN.S45313>
- Rohmah, S. A., Muadifah, A., & Martha, R. D. (2021). Validasi Metode Penetapan Kadar Pengawet Natrium Benzoat pada Sari Kedelai di Beberapa Kecamatan di Kabupaten Tulungagung Menggunakan Spektrofotometer Uv-Vis. *Jurnal Sains dan Kesehatan*, 3(2), 120-127. <https://doi.org/10.25026/jsk.v3i2.265>
- Rohman, A., Irnawati, & Riswanto, F. D. (2023). *Analisis Farmasi dengan Spektroskopi UV-Vis dan Kemometrika*. Yogyakarta: Gadjah Mada University Press.
- Sahumena, M. H., Ruslin, Asriyanti, & Djuwarno, E. N. (2020). Identifikasi Jamu yang Beredar di Kota Kendari Menggunakan Metode Spektrofotometri UV-Vis. *Journal Syifa Sciences and Clinical Research*, 2(2), 65-72. <https://doi.org/10.37311/jsscr.v2i2.6977>
- Saputri, F. A., & Muchtaridi, M. (2018). Analytical Method Development and Validation For The Determination of Caffeine In Green Coffee Beans (Coffea arabica L.) From Three Districts of West Java, Indonesia by High Performance Liquid Chromatography. *International Journal*, 10(6), 107-111. <https://doi.org/10.22159/ijap.2018v10i6.28551>

- Shetti, P., & Jalalpure, S. S. (2022). Optimization of a Validated UV-Spectrophotometric Methodology for Assessment of Apigenin in Bulk Powder. *Indian Journal of Pharmaceutical Education and Research*, 56(1), 281-286. <https://doi.org/10.5530/ijper.56.1.33>
- Siregar, P. N., Pedha, K. I., Resmianto, K. F., Chandra, N., Maharani, V. N., & Riswanto, F. D. (2022). Review: Kandungan Kimia Jahe Merah (*Zingiber officinale* var. *Rubrum*) dan Pembuktian In Silico sebagai Inhibitor SARS-CoV-2. *Jurnal Pharmascience*, 9(2), 185-200. Retrieved from <https://ppjp.ulm.ac.id/journal/index.php/pharmascience>
- Suhartati, T. (2017). *Dasar-Dasar Spektrofotometri UV-Vis dan Spektrofotometri Massa untuk Penentuan Struktur Senyawa Organik*. Bandar Lampung: Anugrah Utama Raharja.
- Sukmawati, Sudewi, S., & Pontoh, J. (2018). Optimasi dan Validasi Metode Analisis dalam Penentuan Kandungan Total Flavanoid Pada Ekstrak Daun Gedi Hijau (*Abelmoscus manihot* L.) yang Diukur Menggunakan Spektrofotometer UV-Vis. *Pharmacon*, 7(3), 32-41. <https://doi.org/10.35799/pha.7.2018.20117>
- Trisnawati, N. N., & Dewi, I. A. (2021). Validasi Metode Uji Merkuri Menggunakan Inductively Coupled Plasma Emission Spectrometry (ICPE) 9000. *Cakra Kimia (Indonesian E-Journal of Applied Chemistry)*, 9(1), 24-28. Retrieved from <https://ojs.unud.ac.id/index.php/cakra/article/download/76770/40887>
- Wahab, I. M., Nordin, F. M., Nabilah, Z., Shameli, K., Amir, S. N., Ahmad, N. ', & Mokhtar, N. (2022). A Comparative Study on Zerumbone Concentration, Radical Scavenging Activity and Total Phenolic Content of Zingiber Zerumbet Extracted via Green and Conventional Extraction. *Journal of Advanced Research in Applied Sciences and Engineering Technology*, 1-8. <https://doi.org/10.37934/araset.27.1.18>
- Wahyuni, A. M., Afthoni, M. H., & Rollando. (2022). Pengembangan dan Validasi Metode Analisis Spektrofotometri UV-Vis Derivatif untuk Deteksi Kombinasi Hidrokortidon Asetat dan Nipagin pada Sediaan Krim. *Sainsbertek Jurnal Ilmiah Sains & Teknologi*, 3(1). <https://doi.org/10.33479/sb.v3i1.181>
- Watson, D. G., Edrada-Ebel, R., & Patel, B. A. (2017). *Pharmaceutical Analysis A Textbook For Pharmacy Students and Pharmaceutical Chemists Fourth Edition*. Edinburgh: Elsevier.
- Yanlinastuti, & Fatimah, S. (2016). Pengaruh Konsentrasi Pelarut untuk Menentukan Kadar Zirkonium dalam Paduan U-Zr dengan Menggunakan Metode Spektrofotometri UV-Vis. *Pengelolaan Instalasi Nuklir*, 9(17), 22-33. Retrieved from <https://jurnal.batan.go.id/index.php/pin/article/view/3311>

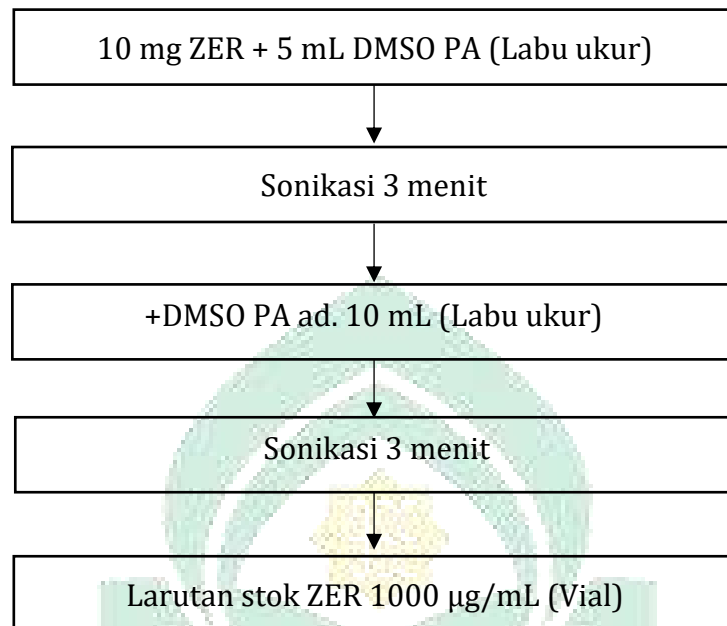
LAMPIRAN

Lampiran 1. Skema Kerja

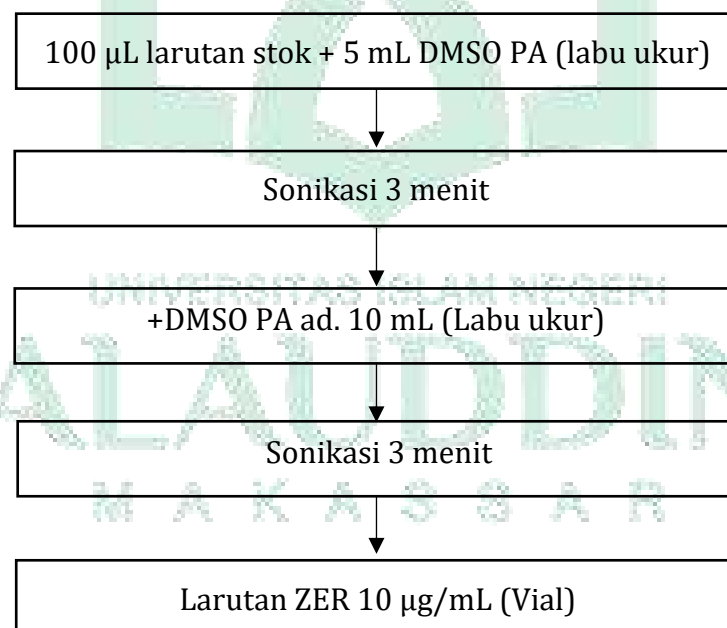
1. Skema Kerja Penelitian



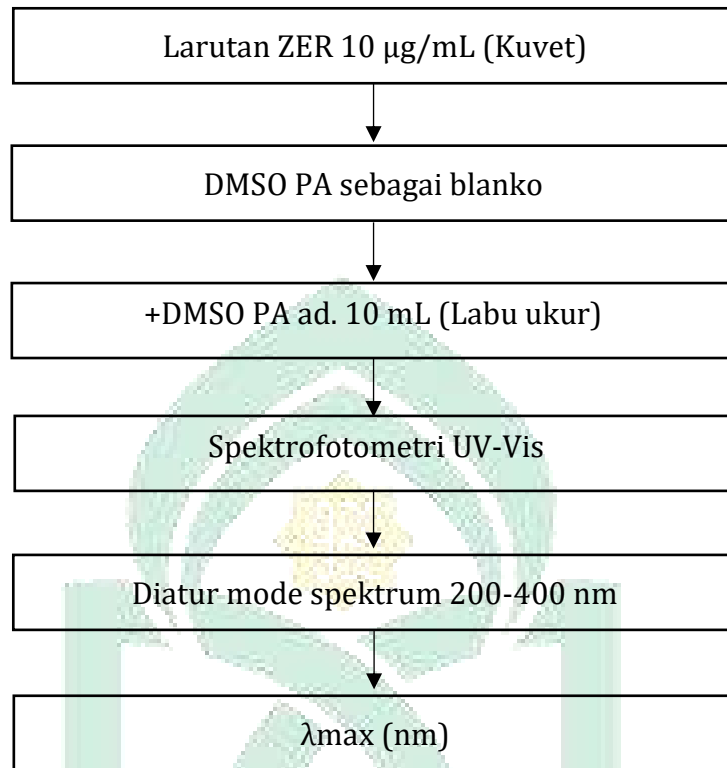
2. Pembuatan Larutan Stok



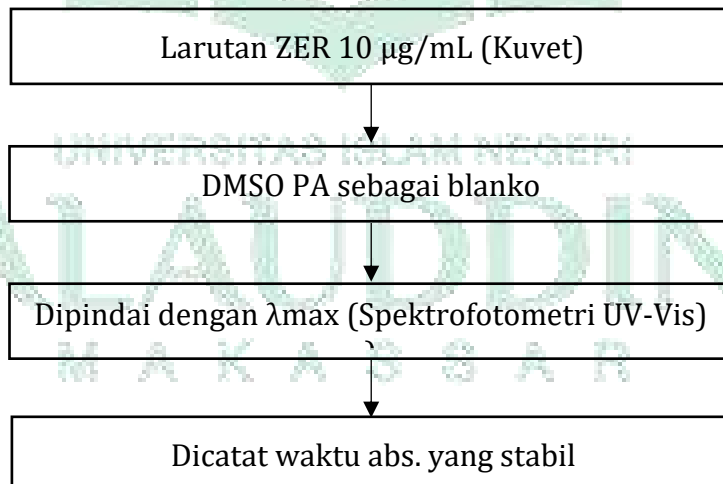
3. Pembuatan Larutan Kerja



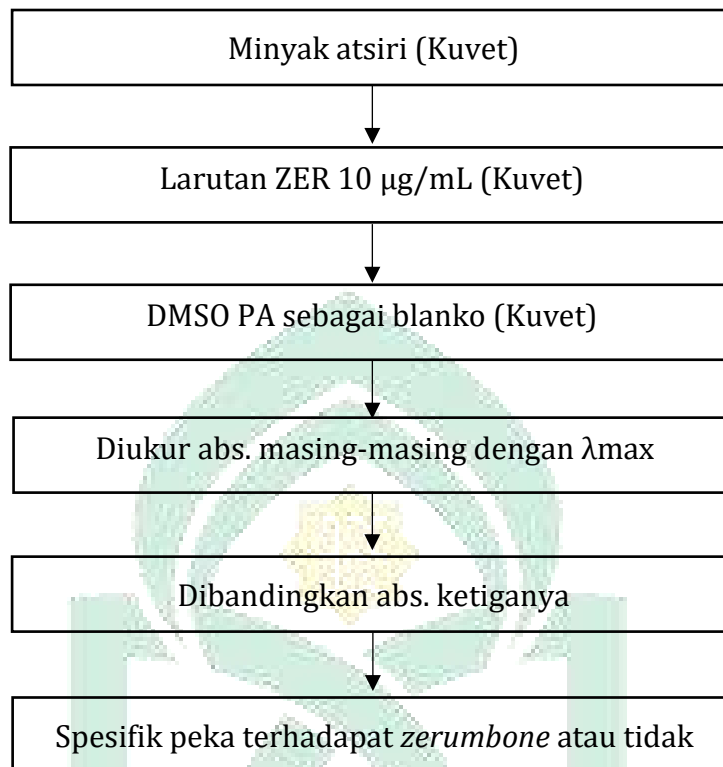
4. Penentuan Panjang Gelombang



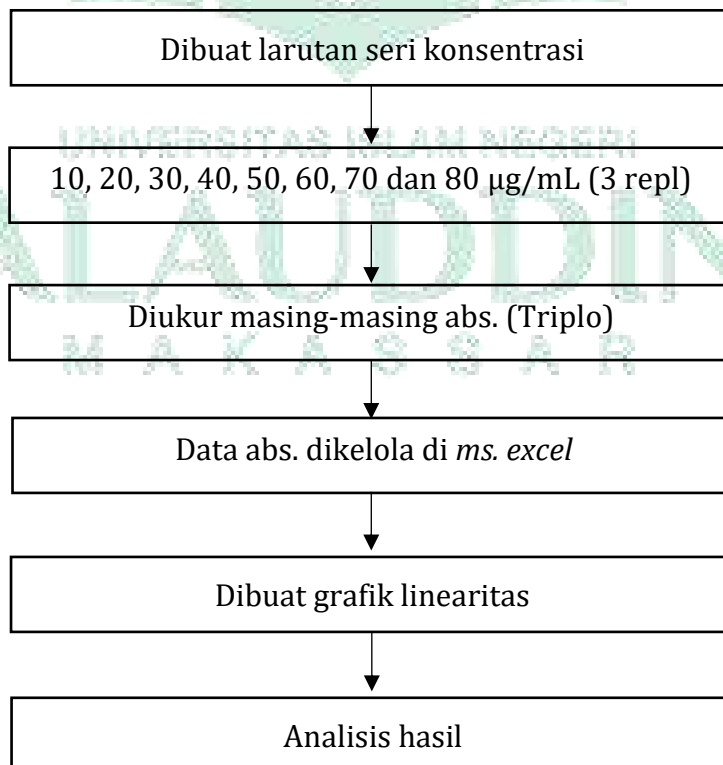
5. Penentuan Operating Time



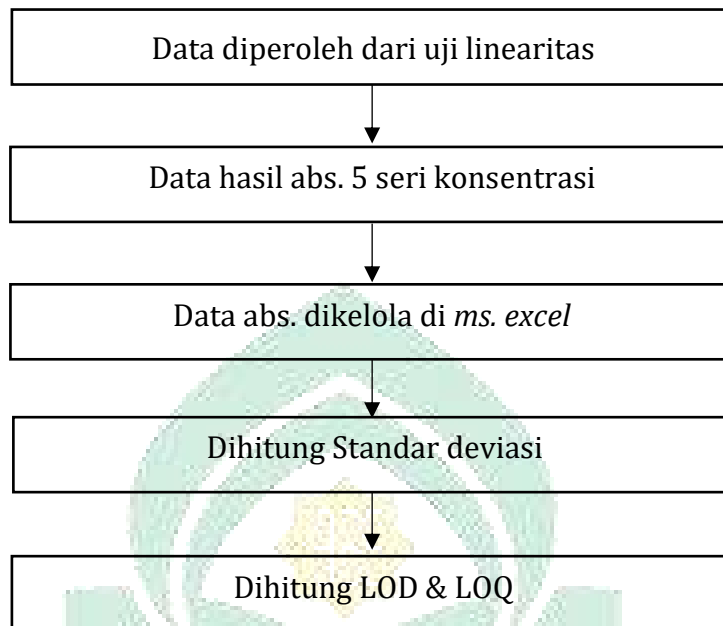
6. Uji Spesifitas



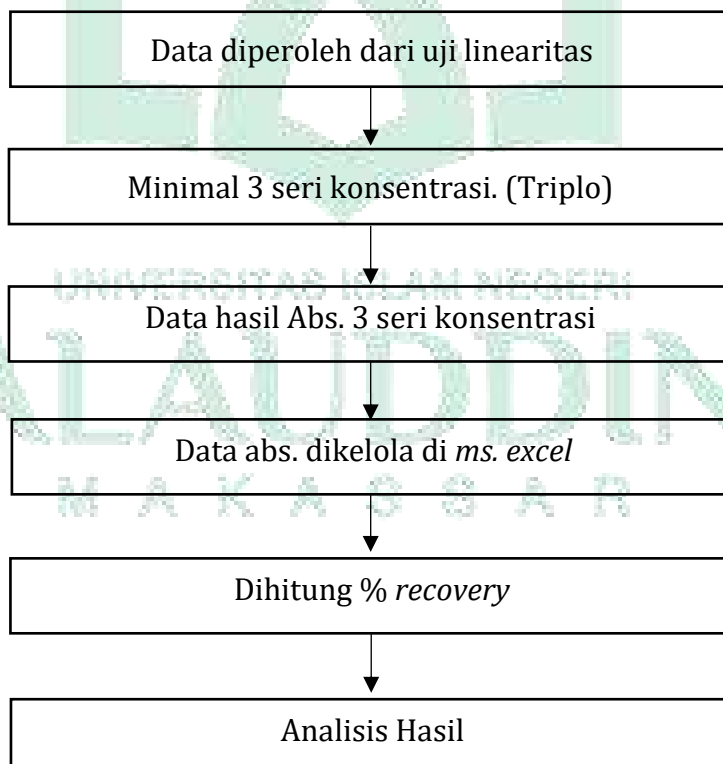
7. Uji Linearitas



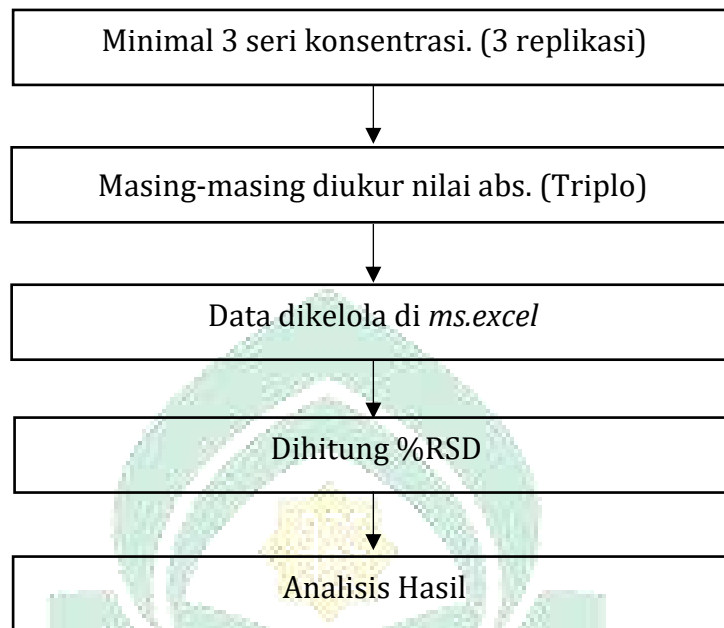
8. Uji LOD & LOQ



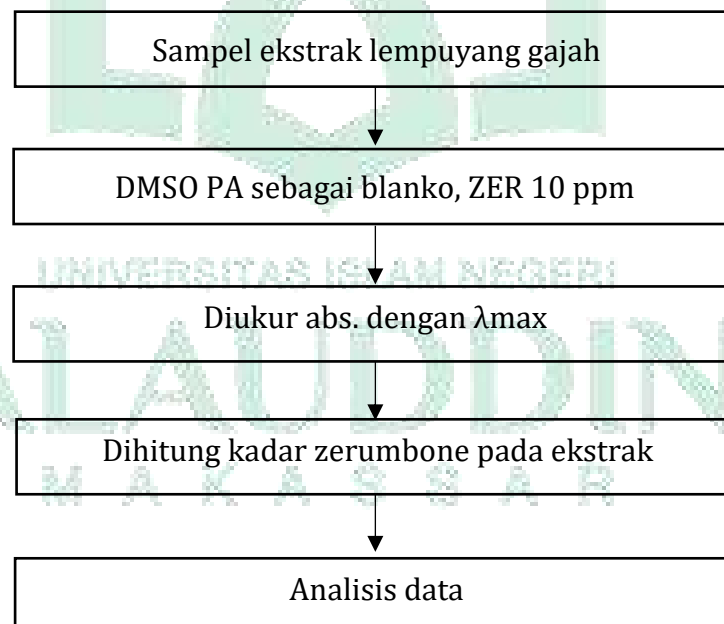
9. Uji Akurasi



10. Uji Presisi



11. Aplikasi Metode Analisis



Lampiran 2. Dokumentasi



Pelarut Dimetilsulfoksida (DMSO)



Alat yang digunakan



Minyak asiri dari Lempuyang Gajah



Kuvet direndam dalam pelarut



Larutan sampel disonikaor



Pembuaan larutan sampel



Larutan baku *zerumbone* 1000 µg/mL



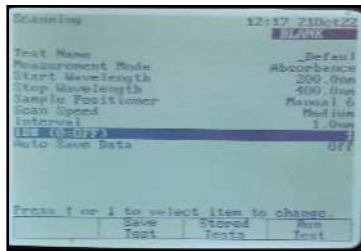
Zerumbone baku



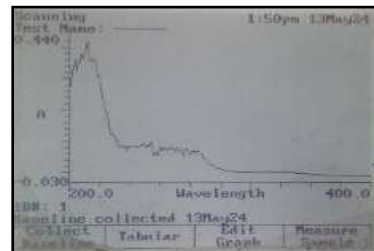
Larutan seri konsenrasi



Pengukuran absorbansi sampel



Scanning Panjang Gelombang



Grafik Panjang Gelombang Zerumbone



Advance A-% T-C

ID#	Abs
1	-0.006
2	-0.007
3	0.006

Pengukuran abs. blanko

Abs
0.114
0.111
0.105

Pengukuran abs. ekstrak lempuyang gajah (m. atsiri)

Abs
0.429
0.439
0.412

Pengukuran abs. zerumbone 10 µg/mL

ID#	Abs
1	0.464
2	0.460
3	0.459

Pengukuran abs. zerumbone 10 µg/mL (I) Hari-1

Abs
0.464
0.486
0.468

Pengukuran abs. zerumbone 10 µg/mL (II) Hari-1

Abs
0.456
0.459
0.476

Pengukuran abs. zerumbone 10 µg/mL (III) Hari-1

Abs
0.526
0.523
0.533

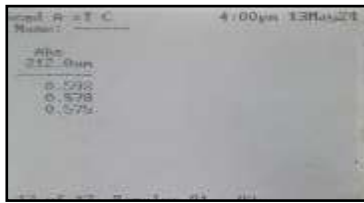
Pengukuran abs. zerumbone 20 µg/mL (I) Hari-1

Abs
0.527
0.534
0.521

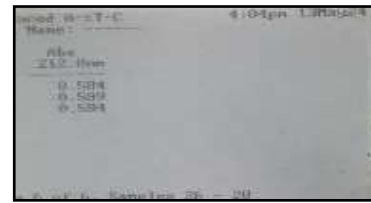
Pengukuran abs. zerumbone 20 µg/mL (II) Hari-1

Abs
0.521
0.527
0.527

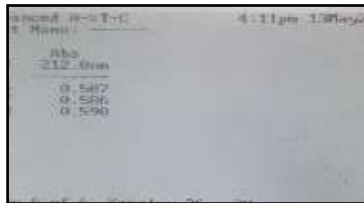
Pengukuran abs. zerumbone 20 µg/mL (III) Hari-1



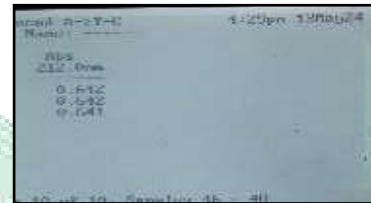
Pengukuran abs. zerumbone 30 µg/mL (I) Hari-1



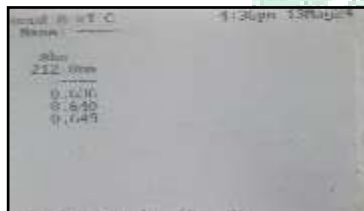
Pengukuran abs. zerumbone 30 µg/mL (II) Hari-1



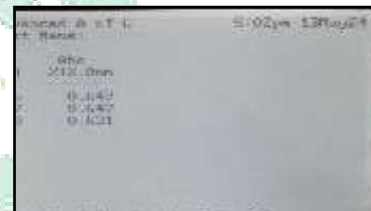
Pengukuran abs. zerumbone 30 µg/mL (III) Hari-1



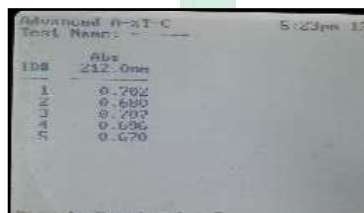
Pengukuran abs. zerumbone 40 µg/mL (I) Hari-1



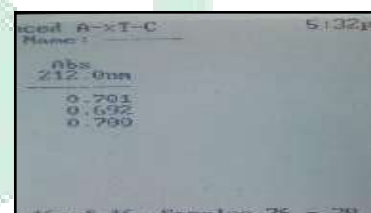
Pengukuran abs. zerumbone 40 µg/mL (II) Hari-1



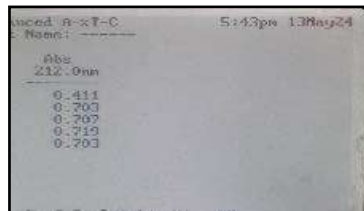
Pengukuran abs. zerumbone 40 µg/mL (III) Hari-1



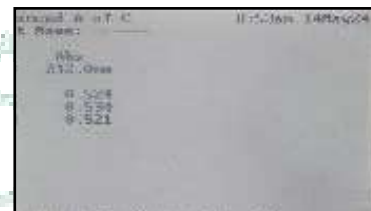
Pengukuran abs. zerumbone 50 µg/mL (I) Hari-1



Pengukuran abs. zerumbone 50 µg/mL (II) Hari-1



Pengukuran abs. zerumbone 50 µg/mL (III) Hari-1



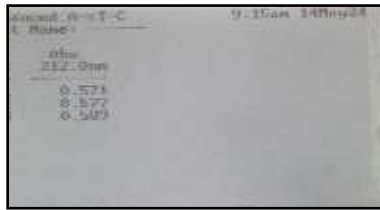
Pengukuran abs. zerumbone 20 µg/mL (I) Hari-2



Pengukuran abs. zerumbone 20 µg/mL (II) Hari-2



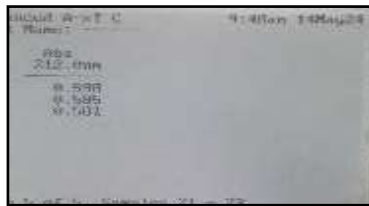
Pengukuran abs. zerumbone 20 µg/mL (III) Hari-2



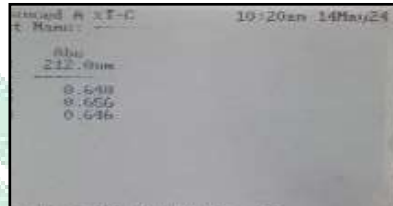
Pengukuran abs. zerumbone 30 µg/mL (I) Hari-2



Pengukuran abs. zerumbone 30 µg/mL (II) Hari-2



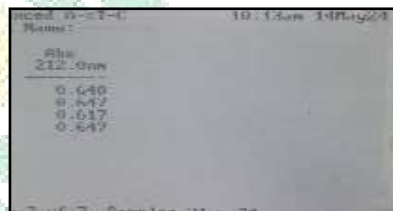
Pengukuran abs. zerumbone 30 µg/mL (III) Hari-2



Pengukuran abs. zerumbone 40 µg/mL (I) Hari-2



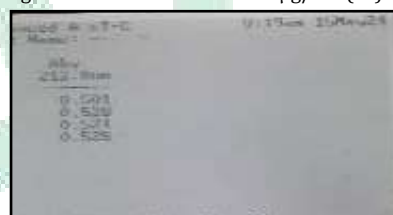
Pengukuran abs. zerumbone 40 µg/mL (II) Hari-2



Pengukuran abs. zerumbone 40 µg/mL (III) Hari-2



Pengukuran abs. zerumbone 20 µg/mL (I) Hari-3



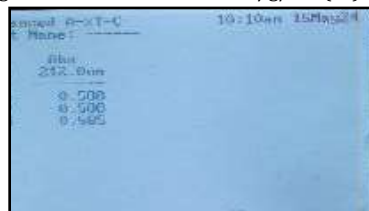
Pengukuran abs. zerumbone 20 µg/mL (II) Hari-3



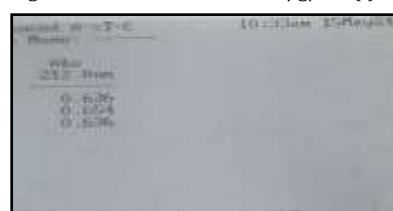
Pengukuran abs. zerumbone 20 µg/mL (III) Hari-3



Pengukuran abs. zerumbone 30 µg/mL (I) Hari-3



Pengukuran abs. zerumbone 30 µg/mL (III) Hari-3



Pengukuran abs. zerumbone 40 µg/mL (I) Hari-3

Wavelength	212.0nm
Abs	0.634
	0.630
	0.637

Pengukuran abs. zerumbone 40 µg/mL (II) Hari-3

Wavelength	212.0nm
Abs	0.649
	0.647
	0.642

Pengukuran abs. zerumbone 40 µg/mL (III) Hari-3



Lampiran 4. Perhitungan

1. Pembuatan larutan baku zerumbone 1000 $\mu\text{g}/\text{mL}$

- Zerumbone = 10 mg
- DMSO PA = 10 mL

$$\text{Zerumbone} = \frac{10 \text{ mg}}{10 \text{ mL}} = 1 \frac{\text{mg}}{\text{mL}} = 1000 \mu\text{g}/\text{mL}$$

2. Pembuatan larutan seri konsentrasi

Larutan yang akan dibuat sebanyak masing-masing 5 mL menggunakan DMSO PA sebagai pengencer

- Zerumbone 10 $\mu\text{g}/\text{mL}$

$$V1 \times M1 = V2 \times M2$$

$$V1 \times 1000 \frac{\mu\text{g}}{\text{mL}} = 5 \text{ mL} \times 10 \frac{\mu\text{g}}{\text{mL}}$$

$$V1 = \frac{5 \text{ mL} \times 10 \frac{\mu\text{g}}{\text{mL}}}{1000 \frac{\mu\text{g}}{\text{mL}}}$$

$$V1 = 0,05 \text{ mL} = 50 \mu\text{L} \rightarrow (\text{Dipepet larutan baku zerumbone})$$

- Zerumbone 20 $\mu\text{g}/\text{mL}$

$$V1 \times M1 = V2 \times M2$$

$$V1 \times 1000 \frac{\mu\text{g}}{\text{mL}} = 5 \text{ mL} \times 20 \frac{\mu\text{g}}{\text{mL}}$$

$$V1 = \frac{5 \text{ mL} \times 20 \frac{\mu\text{g}}{\text{mL}}}{1000 \frac{\mu\text{g}}{\text{mL}}}$$

$$V1 = 0,1 \text{ mL} = 100 \mu\text{L} \rightarrow (\text{Dipepet larutan baku zerumbone})$$

- Zerumbone 30 $\mu\text{g}/\text{mL}$

$$V1 \times M1 = V2 \times M2$$

$$V1 \times 1000 \frac{\mu\text{g}}{\text{mL}} = 5 \text{ mL} \times 30 \frac{\mu\text{g}}{\text{mL}}$$

$$V1 = \frac{5 \text{ mL} \times 30 \frac{\mu\text{g}}{\text{mL}}}{1000 \frac{\mu\text{g}}{\text{mL}}}$$

$$V1 = 0,15 \text{ mL} = 150 \mu\text{L} \rightarrow (\text{Dipepet larutan baku zerumbone})$$

- Zerumbone 40 $\mu\text{g}/\text{mL}$

$$V1 \times M1 = V2 \times M2$$

$$V1 \times 1000 \frac{\mu\text{g}}{\text{mL}} = 5 \text{ mL} \times 40 \frac{\mu\text{g}}{\text{mL}}$$

$$V1 = \frac{5 \text{ mL} \times 40 \frac{\mu\text{g}}{\text{mL}}}{1000 \frac{\mu\text{g}}{\text{mL}}}$$

$$V1 = 0,2 \text{ mL} = 200 \mu\text{L} \rightarrow (\text{Dipepet larutan baku zerumbone})$$

- Zerumbone 50 $\mu\text{g}/\text{mL}$

$$V1 \times M1 = V2 \times M2$$

$$V1 \times 1000 \frac{\mu\text{g}}{\text{mL}} = 5 \text{ mL} \times 50 \frac{\mu\text{g}}{\text{mL}}$$

$$V1 = \frac{5 \text{ mL} \times 50 \frac{\mu\text{g}}{\text{mL}}}{1000 \frac{\mu\text{g}}{\text{mL}}}$$

$$V1 = 0,25 \text{ mL} = 250 \mu\text{L} \rightarrow (\text{Dipepet larutan baku zerumbone})$$

3. Perhitungan LOD & LOQ

(Pengerjaan di mc. Excel)

Persamaan linear : $y = 0,006x + 0,4064$

$a = 0,4064$

$b = 0,006$

Konsentrasi ($\mu\text{g}/\text{mL}$)	Absorbansi (y')	y	$(y-y')$	$(y-y')^2$
10	0,466888889	0,4664	-0,00049	2,39012E-07
20	0,526777778	0,5264	-0,00038	1,42716E-07
30	0,587111111	0,5864	-0,00071	5,05679E-07
40	0,641666667	0,6464	0,00473	2,24044E-05
50	0,709333333	0,7064	-0,00293	8,60444E-06
Jumlah				3,18963E-05

- $n = 5$ (jumlah seri konsentrasi)
- Perhitungan simpangan deviasi

$$SD = \frac{(y - y')^2}{n - 1}$$

$$= \frac{\Sigma[(y - y')^2]}{n - 1}$$

$$SD = \frac{3,18963E - 05}{5 - 1}$$

$$SD = \frac{3,18963E - 05}{5 - 1}$$

$$SD = 0,0028284$$

- Perhitungan LOD

$$LOD = 3,3 \frac{SD}{b}$$

$$LOD = 3,3 \frac{0,0028284}{0,006}$$

$$LOD = 1,5512168 \mu\text{g/mL}$$

- Perhitungan LOQ

$$LOQ = 10 \frac{SD}{b}$$

$$LOQ = 10 \frac{0,0028284}{0,006}$$

$$LOQ = 4,70640051 \mu\text{g/mL}$$

4. Perhitungan akurasi (%recovery)

Pengerjaan di ms. excel

$$a = 0,4064$$

$$b = 0,006$$

$$\text{Konsentrasi perolehan} = \frac{\text{Abs.} - a}{b}$$

$$\%recovery = \frac{\text{Konsentrasi Perolehan}}{\text{Konsentrasi Teori}} \times 100\%$$

Konsentrasi Teori ($\mu\text{g}/\text{mL}$)	Replikasi	Abs	Konsentrasi Perolehan ($\mu\text{g}/\text{mL}$)	Recovery (%)
10	I	0,461	9,1	91,00%
	II	0,472667	11,0445	110,45%
	III	0,467	10,1	101,00%
20	I	0,527333	20,1555	100,78%
	II	0,52733	20,155	100,78%
	III	0,525667	19,87783333	99,39%
30	I	0,588	30,26666667	100,89%
	II	0,585667	29,87783333	99,59%
	III	0,587667	30,21116667	100,70%
40	I	0,641667	39,21116667	98,03%
	II	0,641667	39,21116667	98,03%
	III	0,641667	39,21116667	98,03%
50	I	0,722	52,26666667	104,53%
	II	0,697667	48,5445	97,09%
	III	0,708333	50,32216667	100,64%
Akurasi				91,00 - 110,45%

- Konsentrasi 10 $\mu\text{g}/\text{mL}$

Larutan 1

$$\text{Konsentrasi perolehan} = \frac{\text{Abs.} - a}{b}$$

$$\text{Konsentrasi perolehan} = \frac{0,461 - 0,4064}{0,006}$$

$$\text{Konsentrasi perolehan} = 9,1 \mu\text{g}/\text{mL}$$

$$\%recovery = \frac{\text{Konsentrasi Perolehan}}{\text{Konsentrasi Teori}} \times 100\%$$

$$\%recovery = \frac{9,1 \mu\text{g}/\text{mL}}{10 \mu\text{g}/\text{mL}} \times 100\%$$

$$\%recovery = 91,00 \%$$

Larutan 2

$$\text{Konsentrasi perolehan} = \frac{\text{Abs.} - a}{b}$$

$$\text{Konsentrasi perolehan} = \frac{0,472667 - 0,4064}{0,006}$$

$$\text{Konsentrasi perolehan} = 11,0445 \mu\text{g/mL}$$

$$\% \text{recovery} = \frac{\text{Konsentrasi Perolehan}}{\text{Konsentrasi Teori}} \times 100\%$$

$$\% \text{recovery} = \frac{11,0445 \mu\text{g/mL}}{10 \mu\text{g/mL}} \times 100\%$$

$$\% \text{recovery} = 110,45\%$$

Larutan 3

$$\text{Konsentrasi perolehan} = \frac{\text{Abs.} - a}{b}$$

$$\text{Konsentrasi perolehan} = \frac{0,467 - 0,4064}{0,006}$$

$$\text{Konsentrasi perolehan} = 10,1 \mu\text{g/mL}$$

$$\% \text{recovery} = \frac{\text{Konsentrasi Perolehan}}{\text{Konsentrasi Teori}} \times 100\%$$

$$\% \text{recovery} = \frac{10,1 \mu\text{g/mL}}{10 \mu\text{g/mL}} \times 100\%$$

$$\% \text{recovery} = 101,00\%$$

- Konsentrasi 20 $\mu\text{g/mL}$

Larutan 1

$$\text{Konsentrasi perolehan} = \frac{\text{Abs.} - a}{b}$$

$$\text{Konsentrasi perolehan} = \frac{0,527333 - 0,4064}{0,006}$$

$$\text{Konsentrasi perolehan} = 20,1555 \mu\text{g/mL}$$

$$\%recovery = \frac{\text{Konsentrasi Perolehan}}{\text{Konsentrasi Teori}} \times 100\%$$

$$\%recovery = \frac{20,1555 \mu\text{g/mL}}{20 \mu\text{g/mL}} \times 100\%$$

$$\%recovery = 100,78\%$$

Larutan 2

$$\text{Konsentrasi perolehan} = \frac{Abs. - a}{b}$$

$$\text{Konsentrasi perolehan} = \frac{0,52733 - 0,4064}{0,006}$$

$$\text{Konsentrasi perolehan} = 20,155 \mu\text{g/mL}$$

$$\%recovery = \frac{\text{Konsentrasi Perolehan}}{\text{Konsentrasi Teori}} \times 100\%$$

$$\%recovery = \frac{20,155 \mu\text{g/mL}}{20 \mu\text{g/mL}} \times 100\%$$

$$\%recovery = 100,78\%$$

Larutan 3

$$\text{Konsentrasi perolehan} = \frac{Abs. - a}{b}$$

$$\text{Konsentrasi perolehan} = \frac{0,52733 - 0,4064}{0,006}$$

$$\text{Konsentrasi perolehan} = 19,87783333 \mu\text{g/mL}$$

$$\%recovery = \frac{\text{Konsentrasi Perolehan}}{\text{Konsentrasi Teori}} \times 100\%$$

$$\%recovery = \frac{19,87783333 \mu\text{g/mL}}{20 \mu\text{g/mL}} \times 100\%$$

$$\%recovery = 99,39\%$$

- Konsentrasi 30 µg/mL

Larutan 1

$$\text{Konsentrasi perolehan} = \frac{\text{Abs.} - a}{b}$$

$$\text{Konsentrasi perolehan} = \frac{0,588 - 0,4064}{0,006}$$

$$\text{Konsentrasi perolehan} = 30,26666667 \mu\text{g/mL}$$

$$\% \text{recovery} = \frac{\text{Konsentrasi Perolehan}}{\text{Konsentrasi Teori}} \times 100\%$$

$$\% \text{recovery} = \frac{30,26666667 \mu\text{g/mL}}{30 \mu\text{g/mL}} \times 100\%$$

$$\% \text{recovery} = 100,89\%$$

Larutan 2

$$\text{Konsentrasi perolehan} = \frac{\text{Abs.} - a}{b}$$

$$\text{Konsentrasi perolehan} = \frac{0,585667 - 0,4064}{0,006}$$

$$\text{Konsentrasi perolehan} = 29,87783333 \mu\text{g/mL}$$

$$\% \text{recovery} = \frac{\text{Konsentrasi Perolehan}}{\text{Konsentrasi Teori}} \times 100\%$$

$$\% \text{recovery} = \frac{29,87783333 \mu\text{g/mL}}{30 \mu\text{g/mL}} \times 100\%$$

$$\% \text{recovery} = 99,59\%$$

Larutan 3

$$\text{Konsentrasi perolehan} = \frac{\text{Abs.} - a}{b}$$

$$\text{Konsentrasi perolehan} = \frac{0,587667 - 0,4064}{0,006}$$

$$\text{Konsentrasi perolehan} = 30,2116667 \mu\text{g/mL}$$

$$\%recovery = \frac{\text{Konsentrasi Perolehan}}{\text{Konsentrasi Teori}} \times 100\%$$

$$\%recovery = \frac{30,21116667 \mu\text{g/mL}}{30 \mu\text{g/mL}} \times 100\%$$

$$\%recovery = 100,70\%$$

- Konsentrasi 40 $\mu\text{g/mL}$

Larutan 1

$$\text{Konsentrasi perolehan} = \frac{\text{Abs.} - a}{b}$$

$$\text{Konsentrasi perolehan} = \frac{0,641667 - 0,4064}{0,006}$$

$$\text{Konsentrasi perolehan} = 39,21116667 \mu\text{g/mL}$$

$$\%recovery = \frac{\text{Konsentrasi Perolehan}}{\text{Konsentrasi Teori}} \times 100\%$$

$$\%recovery = \frac{39,21116667 \mu\text{g/mL}}{40 \mu\text{g/mL}} \times 100\%$$

$$\%recovery = 98,03\%$$

Larutan 2

$$\text{Konsentrasi perolehan} = \frac{\text{Abs.} - a}{b}$$

$$\text{Konsentrasi perolehan} = \frac{0,641667 - 0,4064}{0,006}$$

$$\text{Konsentrasi perolehan} = 39,21116667 \mu\text{g/mL}$$

$$\%recovery = \frac{\text{Konsentrasi Perolehan}}{\text{Konsentrasi Teori}} \times 100\%$$

$$\%recovery = \frac{39,21116667 \mu\text{g/mL}}{40 \mu\text{g/mL}} \times 100\%$$

$$\%recovery = 98,03\%$$

Larutan 3

$$\text{Konsentrasi perolehan} = \frac{\text{Abs.} - a}{b}$$

$$\text{Konsentrasi perolehan} = \frac{0,641667 - 0,4064}{0,006}$$

$$\text{Konsentrasi perolehan} = 39,21116667 \mu\text{g/mL}$$

$$\% \text{recovery} = \frac{\text{Konsentrasi Perolehan}}{\text{Konsentrasi Teori}} \times 100\%$$

$$\% \text{recovery} = \frac{39,21116667 \mu\text{g/mL}}{40 \mu\text{g/mL}} \times 100\%$$

$$\% \text{recovery} = 98,03\%$$

- Konsentrasi 50 $\mu\text{g/mL}$

Larutan 1

$$\text{Konsentrasi perolehan} = \frac{\text{Abs.} - a}{b}$$

$$\text{Konsentrasi perolehan} = \frac{0,722 - 0,4064}{0,006}$$

$$\text{Konsentrasi perolehan} = 52,26666667 \mu\text{g/mL}$$

$$\% \text{recovery} = \frac{\text{Konsentrasi Perolehan}}{\text{Konsentrasi Teori}} \times 100\%$$

$$\% \text{recovery} = \frac{52,26666667 \mu\text{g/mL}}{50 \mu\text{g/mL}} \times 100\%$$

$$\% \text{recovery} = 104,53\%$$

Larutan 2

$$\text{Konsentrasi perolehan} = \frac{\text{Abs.} - a}{b}$$

$$\text{Konsentrasi perolehan} = \frac{0,697667 - 0,4064}{0,006}$$

$$\text{Konsentrasi perolehan} = 48,5445 \mu\text{g/mL}$$

$$\%recovery = \frac{\text{Konsentrasi Perolehan}}{\text{Konsentrasi Teori}} \times 100\%$$

$$\%recovery = \frac{48,5445 \mu\text{g/mL}}{50 \mu\text{g/mL}} \times 100\%$$

$$\%recovery = 97,09\%$$

Larutan 3

$$\text{Konsentrasi perolehan} = \frac{Abs. - a}{b}$$

$$\text{Konsentrasi perolehan} = \frac{0,708333 - 0,4064}{0,006}$$

$$\text{Konsentrasi perolehan} = 50,32216667 \mu\text{g/mL}$$

$$\%recovery = \frac{\text{Konsentrasi Perolehan}}{\text{Konsentrasi Teori}} \times 100\%$$

$$\%recovery = \frac{50,32216667 \mu\text{g/mL}}{50 \mu\text{g/mL}} \times 100\%$$

$$\%recovery = 100,64\%$$

5. Perhitungan presisi (%RSD)

Konsentrasi (µg/mL)	Replikasi	Abs.			rata-rata abs perhari	Rata-rata	SD	%RSD (%)
		Hari ke-						
		I	II	III				
20	1	0,527 333	0,526 333	0,519	0,524222	0,523 666	0,003 258	0,62214 8465
	2	0,527 333	0,519 333	0,524 667	0,523777			
	3	0,525 667	0,523 667	0,519 667	0,523			
30	1	0,588	0,578 333	0,582	0,582778	0,585 333	0,003 658	0,62498 8499
	2	0,585 667	0,581 333	0,587	0,584667			
	3	0,587 667	0,588	0,59	0,588556			
40	1	0,641 667	0,647 333	0,642	0,643667	0,642 408	0,003 189	0,49635 204
	2	0,641 667	0,641	0,635 667	0,639445			
	3	0,641 667	0,644 667	0,646	0,644111			
Rata-rata								0,58116
% RSD								3001

Pengerjaan di ms. excel

SD Konsentrasi 20 µg/mL =STDEV.P(**AN4:AP6**) = 0,003258

SD Konsentrasi 30 µg/mL =STDEV.P(**AN7:AP9**) = 0,003658

SD Konsentrasi 40 µg/mL =STDEV.P(**AN10:AP12**) = 0,003189

Untuk menghitung %RSD

$\%SD = SD / \text{Rata-rata} \times 100\%$

- %SD 20 µg/mL

$$\%SD = \frac{0,003258}{0,523666}$$

$$\%SD = 0,622148465 \%$$

- %SD 30 µg/mL

$$\%SD = \frac{0,003658}{0,585333}$$

$$\%SD = 0,624988499 \%$$

- %SD 40 µg/mL

$$\%SD = \frac{0,003189}{0,642408}$$

$$\%SD = 0,49635204 \%$$

6. Aplikasi metode analisis dalam perhitungan kadar zerumbone dalam minyak atsiri rimpang lempuyang gajah (*Zingiber Zerumbet* (L.))

$$\text{Persamaan linear : } y = 0,006x + 0,4064$$

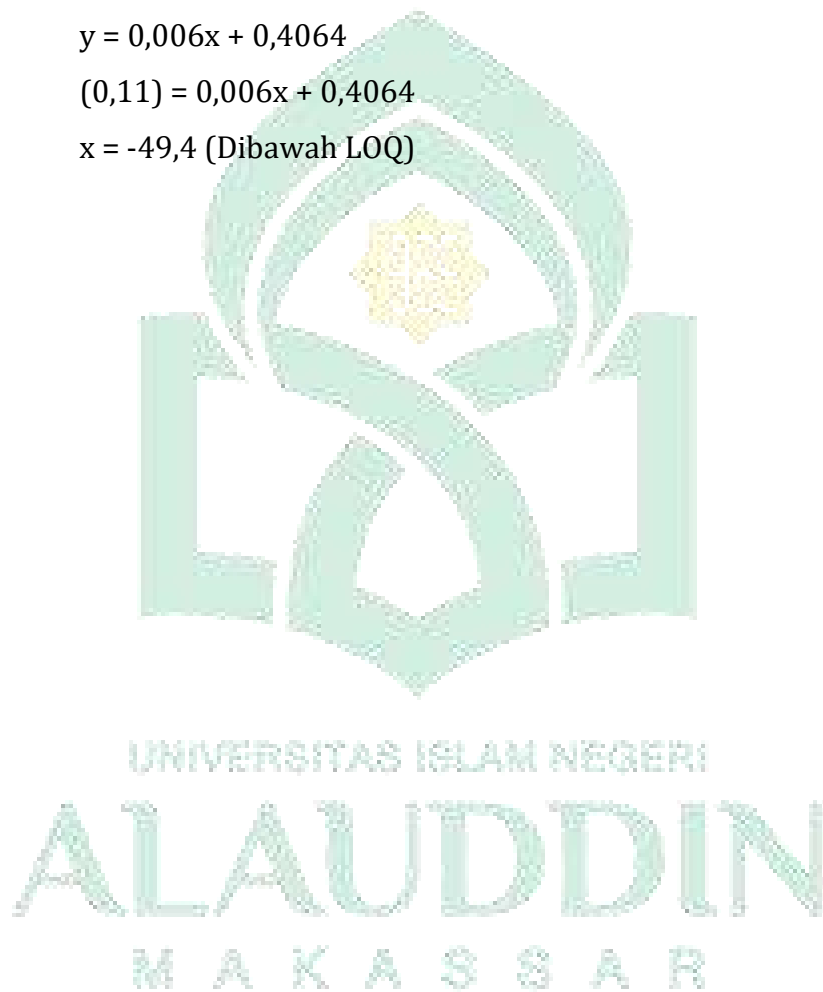
$$\text{Hasil absorbansi sampel} = y = 0,11$$

Penyelesaian

$$y = 0,006x + 0,4064$$

$$(0,11) = 0,006x + 0,4064$$

$$x = -49,4 \text{ (Dibawah LOQ)}$$



RIWAYAT HIDUP



Penulis bernama Muhlisuddin, sapaan akrabnya Muhlis atau *Mulles* lahir di Kota Kalong, 29 Desember 2002. Penulis merupakan anak bungsu dari tiga bersaudara, menyelesaikan pendidikan formalnya di SDS Perguruan Islam Ganra selesai pada tahun 2014, kemudian melanjutkan ke SMP Berbasis Pesantren Perguruan Islam Ganra selesai pada tahun 2017. Melanjutkan sekolah menengah atas di SMA Negeri 1 Soppeng jurusan Matematika dan Ilmu-Ilmu Alam (MIA), lulus pada tahun 2020 di tengah-tengah pandemi *Covid-19*. Pada tahun 2020 penulis terdaftar sebagai mahasiswa program studi Farmasi Fakultas Kedokteran dan Ilmu Kesehatan, Universitas Islam Negeri Alauddin Makassar melalui seleksi Ujian Masuk Perguruan Tinggi Keagamaan Islam Negeri (UM-PTKIN). Saat menyusun skripsi ini, rasanya seperti meramu obat yang rumit, dimana setiap kata dan kalimat harus ditakar dengan presisi. Setiap bab yang ditulis seakan-akan seperti komponen kimia yang harus direaksikan dalam proporsi yang tepat, agar menghasilkan sediaan yang tidak hanya memenuhi persyaratan, namun juga efektif dan bermakna.

Semasa kuliahnya, penulis aktif diberbagai kegiatan dan kepanitiaan mahasiswa (pernah menjadi ketua panitia kegiatan *Alauddin's Pharmaceutical Competition 2022*). Riwayat organisasi yang pernah diikuti diantaranya *Study Club Avicenna Zone* (anggota divisi media dan publikasi 2022-2023); Himpunan Mahasiswa Jurusan Farmasi (koordinator divisi pendidikan dan profesi 2022-2023); dan Senat Mahasiswa Fakultas Kedokteran dan Ilmu Kesehatan UIN Alauddin Makassar (anggota komisi disiplin 2023-2024). Selain itu, aktif juga mengikuti berbagai kompetisi internal maupun eksternal, prestasi yang pernah diraih diantaranya Juara 2 Lomba Desain Poster (diadakan oleh STIKES Dirgahayu Samarinda) 2022; Juara 1 bidang Poster Publik pada Kompetisi Farmasi Seluruh Indonesia (KOFEIN) (diadakan oleh BEM Fakultas Farmasi Universitas Airlangga) 2023; Juara 1 Lomba Desain Poster dalam rangka semarak milad Ke-19 FKIK UIN Alauddin pada tahun 2023; serta menjadi finalis komepetisi poster pada kompetisi ALPHA-C 2021, UNYSEF 2022, dan AMC Vol.5 2023. Selama kuliah, penulis juga pernah menjadi asisten laboratorium diberbagai praktikum, diantaranya blok Dasar-Dasar Kimia Farmasi; Dasar-Dasar Biologi Farmasi; Ilmu Resep; Teknologi Sediaan Solid; Teknologi Sediaan Likuid dan Semisolid; serta Biofarmasi dan Farmakokinetik. Penulis berhasil menyelesaikan studi S-1 Farmasi dalam kurung waktu 3 tahun 10 bulan dengan predikat kelulusan *cum laude*.

Motto hidup, 'tiada ilmu yang tidak berguna', keyakinan bahwa setiap pengetahuan memiliki nilai dan manfaat, meskipun mungkin tidak segera terlihat. Prinsip ini mendorong untuk selalu menghargai dan mencari ilmu dalam segala bentuknya, karena setiap pengetahuan bisa menjadi aset berharga yang suatu saat dapat digunakan dalam situasi yang tepat. Ilmu akan terus berkembang mengikuti zaman. Penulis berharap dapat menjadi *role model Islamic Pharmacist* di masa yang akan datang.